Curso de Ciência da Computação Universidade Estadual de Mato Grosso do Sul

ANÁLISES ESTÁTICA E DINÂMICA DE PROGRAMAS MALICIOSOS (MALWARES)

RAFAELA DONASSOLO ALVES

ORIENTADOR: PROF. DR. RUBENS BARBOSA FILHO

ANÁLISES ESTÁTICA E DINÂMICA DE PROGRAMAS MALICIOSOS (MALWARES)

RAFAELA DONASSOLO ALVES

Este exemplar corresponde à redação final da monografia da disciplina Projeto Final de Curso devidamente corrigida e defendida por Rafaela Donassolo Alves e aprovada pela Banca Examinadora, como parte dos requisitos para a obtenção do título de Bacharel em Ciência da Computação.

ORIENTADOR: PROF. DR. RUBENS BARBOSA FILHO

DOURADOS-MS 2020

A482a Alves, Rafaela Donassolo

Análise estática e dinâmica de códigos maliciosos (malwares) / Rafaela Donassolo Alves. — Dourados, MS: UEMS, 2020.

74p.

Monografia (Graduação) — Ciência da Computação — Universidade Estadual de Mato Grosso do Sul, 2020. Orientadora: Prof. Dr. Rubens Barbosa Filho.

1. Malware 2. Código malicioso 3. Análise estática I. Barbosa Filho, Rubens II. Título

CDD 23. ed. - 005.84

Curso de Ciência da Computação Universidade Estadual de Mato Grosso do Sul

ANÁLISES ESTÁTICA E DINÂMICA DE PROGRAMAS MALICIOSOS (MALWARES)

RAFAELA DONASSOLO ALVES

Novembro de 2020

Banca Examinadora:

Prof. Dr. Rubens Barbosa Filho (Orientador)

Área de Computação – UEMS

Prof^a. Dr^a. Mercedes R. Gonzales Márquez

Área de Computação - UEMS

Prof. Dr. Osvaldo Vargas Jaques

Área de Computação - UEMS



AGRADECIMENTOS

Primeiramente, agradeço aos meus pais Aguinaldo e Vanessa, pelos exemplos de amor, companheirismo e dedicação que me oferecem a cada dia.

Agradeço a minha irmã Isabela que sempre está ao meu lado me apoiando em todas as minhas decisões.

Agradeço ao meu orientador, Prof. Dr. Rubens Barbosa Filho, pela competência e dedicação durante a elaboração desse trabalho.

Agradeço todos os professores do curso que me proporcionaram conhecimento, especialmente Prof. Dr. Odival Faccenda e Prof^a. Dr^a. Glaucia Gabriel Sass por me proporcionar minha primeira iniciação científica.

Agradeço aos meus amigos por todo carinho e apoio em tantos momentos difíceis desta caminhada.



RESUMO

Códigos maliciosos são programas de computadores que tem como objetivo criar

uma vulnerabilidade no sistema e assim roubar dados e informações dos usuários,

além de outros problemas que podem causar. Portanto o trabalho tem como

objetivo estudar programas maliciosos, em que é realizado análises desses códigos

através de análises estática e dinâmica, e assim conseguir classificá-los de acordo

com o comportamento. As características são apresentadas, assim como as

técnicas para análise dos códigos maliciosos e as ferramentas necessárias para o

estudo dos mesmos.

Palavras-chave: malware, código malicioso, análise estática, análise dinâmica.

İΧ



ABSTRACT

Malicious code are malicious programs that have the purpose to create a vulnerability in the system and then steal data and user information besides other problems that can be created. Therefore the aim of this project is to study malicious programs by performing the investigation of these codes, through static and dynamic analysis and then be able to classify them according to their behaviour. The characteristics are presented as well as the techniques for the analysis and the necessary tools for this study.

Key-words: malware, malicious code, static analysis, dynamic analysis.



Sumário

1	INTRODUÇÃO	. 15
1.1	Objetivo geral	16
1.2	Objetivos específicos	16
2	REFERENCIAL TEÓRICO	. 17
2.1	Análise Estática Básica	18
2.2	Análise Estática Avançada	18
2.3	Análise Dinâmica Básica	19
2.4	Análise Dinâmica Avançada	19
2.5	Trabalhos Relacionados	19
3	MÁQUINA VIRTUAL	. 21
4	FERRAMENTAS	. 25
4.1	BinText	25
4.2	Delphi 7	25
4.3	Delphi Decompiler	25
4.4	ExeinfoPE	26
4.5	FakeNet	26
4.6	IDA PRO	27
4.7	OllyDBG	28
4.8	PEiD	29
4.9	PeView	29
4.10	Process Explorer	30
4.11	Process Monitor	31
4.12	Regshot	32
4.13	UPX	33
4.14	Virus Total	33
5	METODOLOGIA E ANÁLISES	. 35
5.1	Arquivo disfarçado de biblioteca DLL	35
5.2	Análise de arquivo executável empacotado	38
5.3	Análise de arquivo executável com strings criptografadas	41
5.4	Arquivo Executável criando Processos	49
5.5	Malware Acessando Site Externo pela Rede	55
5.6	Arquivo disfarçado de executável	56

5.7	Malware Envelopado	66
6	CONCLUSÃO	72
	REFERÊNCIAS	73

1 Introdução

Ano após ano verifica-se que o número de códigos maliciosos cresce substancialmente. No ano de 2019, de acordo com a Kaspersky (2020d), houve um aumento de 14% de objetos maliciosos. A maioria desses códigos maliciosos está voltado principalmente para o lucro financeiro. No entanto, na década de 1970, os ataques eram praticamente realizados com o objetivo de diversão.

Um terço dos ataques financeiros, no ano de 2019, teve o objetivo de atingir usuários corporativos. Essas ações visaram obter informações sobre contas bancárias ou afetar os recursos financeiros da empresa. O Brasil foi o quarto país mais atingido por esses tipos de ataques ficando atrás apenas da Rússia, Alemanha e China (KASPERSKY, 2020a).

Já em 2020, com a pandemia do coronavírus, os cibercriminosos aproveitaram o tema para realizar ataques e disseminar códigos maliciosos. Alguns desses ataques envolvia uma mensagem enviada por um aplicativo de mensagem disponibilizando uma suposta oferta de serviço *streaming* gratuito durante a pandemia do COVID-19. Também os cibercriminosos utilizaram campanhas com nome de uma farmácia, a qual envia uma fatura de compra de álcool em gel. Isso levou alguns usuários a clicarem no *link* malicioso (KASPERSKY, 2020c).

Além desses ataques, os cibercriminosos utilizaram fake news relacionadas ao auxílio emergencial para conseguir realizar esse tipo de ação. Segundo a Kaspersky (2020b), o Brasil se tornou o quinto país mais atingido por ciberataques durante a pandemia.

Portanto, tanto as ferramentas utilizadas quanto os códigos desenvolvidos estão mais profissionais. Este conjunto, ferramentas e códigos abrangem técnicas de ataque, infecção e propagação avançadas. Diante deste cenário, há a necessidade de se manter um constante aprimoramento das técnicas e ferramentas de detecção, identificação e neutralização desses códigos maliciosos. O caminho para alcançar esses intentos passa pelo entendimento dos processos de segurança e inovação das tecnologias necessárias para conhecer um código/programa que possa ser classificado como malicioso.

A evolução dos ataques por meio de *malwares* fez com que surgissem novos desafios para a área de segurança de computadores. Conhecer o funcionamento de um código malicioso é o ponto de partida para se produzir ou mesmo escolher as ferramentas adequadas para detecção e proteção dos usuários. Tais ferramentas adequadas permite conhecer o contexto em que o código malicioso pretende agir, sendo por meio de coleta de dados, danos ao sistema, fraudes financeiras ou ameaças e extorsões. O trabalho apresenta, no capítulo dois, um referencial teórico para o melhor entendimento do material de estudo. Depois é apresentado o conceito de máquina virtual no capítulo três. O capítulo quatro apresenta a metodologia científica junto com as ferramentas e os resultados dos estudo. Por fim, o capítulo cinco apresenta a conclusão desse trabalho.

1.1 Objetivo geral

Estudar arquivos maliciosos através das análises estática e dinâmica.

1.2 Objetivos específicos

- Estudo de técnicas de análises estática e dinâmica;
- Estudo das ferramentas usadas em cada tipo de análise;
- Análises estática e dinâmica de sete códigos maliciosos;
- Classificação dos sete códigos dentre sete categorias ou famílias de *malwares*.

2 Referencial Teórico

Em 2017, houve um ciberataque que atingiu vários países. O Brasil foi um dos países atingidos com 15 estados afetados. Esse ciberataque afetou hospitais, indústrias, empresas e serviços de telefonia. No Brasil, além dos sites do Ministério Público Federal e do Tribunal de Justiça de São Paulo, sistemas do Instituto Nacional do Seguro Social também foram atingidos (BRITTO; FREITAS, 2017).

Esses tipos de ataques ocorrem, pois programas maliciosos são espalhados a fim de atingir dispositivos conectados a rede. Segundo Mangialardo e Duarte (2015), programas maliciosos, que também são chamados de *malwares*, são programas criados com o intuito de realizar ações que prejudicam um computador. Os principais motivos para a criação desses programas são ganho financeiro e coleta de informações confidenciais.

Outra definição para esses programas é de Sihwail, Omar e Ariffin (2018). Segundo Sihwail, Omar e Ariffin (2018), malware é um software que é inserido em um sistema sem que o usuário saiba e que compromete as funções do computador, roubando dados e evitando controles de acesso. De acordo com Sihwail, Omar e Ariffin (2018), um malware pode ser:

• Vírus

Esse tipo de *malware* se replica e insere seu código em outros programas. Ele consegue se espalhar de um programa para outro e de um computador para outro.

• Spyware

Esse tipo de código malicioso espia as atividades do usuário atingido e consegue obter informações sobre páginas web visitadas e número de cartão de credito sem a vítma saber e envia essas informações para o atacante

• Botnet

Esse código malicioso controla remotamente um grupo de dispositivos como PCs e $smart\ phones$

• Trojan Horse

Enquanto atua como um programa legítimo, esse código executa funções desconhecidas e indesejadas. Também permite que atacantes tenham acesso a máquina e conseguem informações confidenciais.

Além dessas categorias de *malware* apresentadas, também existem outros tipos como *Adware*, o qual traz constantemente propagandas para o computador, e *Ransomware*, o qual permite que o *hacker* bloqueie as informações do computador, isto é, esse programa

malicioso encripta os dados mais importantes e pede um pagamento para liberá-los. Portanto, com a variedade de *malwares*, é importante compreender o comportamento de cada um para assim classificá-los.

De acordo com Paulista e Marchi (2017), é necessário realizar a análise do comportamento de programas maliciosos, uma vez que auxilia no desenvolvimento de sistemas mais seguros. Paulista e Marchi (2017) ainda afirmam:

Milhares de códigos maliciosos são criados diariamente e para tanto, se faz necessário analisá-los. A análise do código e comportamento malicioso visa o entendimento profundo do funcionamento de um malware (Filho e outros, 2009), e a partir desta análise é possível projetar sistemas mais seguros e nos proteger de ataques futuros. Além disto, para realizar detecção de malware é necessário conhecer seus possíveis comportamentos e assim concluir se um dado programa é benigno ou malicioso.

Assim para realizar o estudo de programas maliciosos, é importante compreender as técnicas utilizadas para análise. Portanto, existem duas técnicas a fim de obter as características e comportamentos dos malwares: análise estática e análise dinâmica. Segundo Leite (2016), uma análise estática consiste no estudo de um arquivo do tipo Portable Executable-(PE Files), isto é, arquivos executáveis, sem precisar executá-los. Nesse processo de análise, é possível identificar padrões nas strings utilizadas, sequência de bytes, distribuição de opcodes, entre outros.

Já a análise dinâmica é realizada ao executar o malware. Segundo Prado, Penteado e Grégio (2016), o código malicioso é executado em um emulador, ou seja, um ambiente controlado, por um período de tempo permitindo que a infecção aconteça. Assim, o malware mostra seu comportamento e dessa forma pode-se obter as ações realizadas pelo mesmo.

2.1 Análise Estática Básica

A análise estática básica, segundo Mangialardo e Duarte (2015), estuda o código utilizando programas antivírus, e analisando as *strings*, funções e obtém informações dos cabeçalhos dos programas.

2.2 Análise Estática Avançada

A análise estática avançada, de acordo com Mangialardo e Duarte (2015), o código estudado é desmontado e uma engenharia reversa é feita a fim de entender as ações do malware analisado.

2.3 Análise Dinâmica Básica

A análise dinâmica básica estuda o código malicioso em um ambiente controlado, em que os processos do *malware* serão monitorados e os pacotes de dados feitos pelo código serão analisados (PRAYUDI; RIADI; YUSIRWAN, 2015).

2.4 Análise Dinâmica Avançada

Essa análise, segundo Prayudi, Riadi e Yusirwan (2015), é um método aprofundado da análise dinâmica realizando debugging no arquivo, analisando o registrador e realizando uma análise do sistema windows.

2.5 Trabalhos Relacionados

Mangialardo e Duarte (2015) apresentaram um técnica para classificação de *malware* baseada na unificação das técnicas de análise estática e dinâmica com o aprendizado de máquina. Os autores iniciaram a classificação determinando os artefatos como malignos, para aqueles que são *malwares*, e benignos para aqueles que são *malwares*.

Para realizar a classificação da análise estática, atributos como data de compilação, tamanho do arquivo, entropia, entre outros foram considerados. Na análise dinâmica, as APIs do sistema foram utilizados para realizar a classificação. Já na análise conjunta, a qual utiliza aprendizado de máquina, foram usados os algoritmos C5.0 e Random Forest.

Mangialardo e Duarte (2015) realizaram nove experimentos, os quais têm o objetivo de definir o desempenho da identificação do *malware* e a classificação para os tipos de códigos maliciosos. A validação dos experimentos foi feita a partir da validação cruzada e as métricas consideradas foram acurácia, precisão, revocação e a medida-F.

Mangialardo e Duarte (2015) chegaram a conclusão em que a técnica unificada apresenta melhor acurácia que as técnicas isoladas. No método de classificação, em que foi utilizado o aprendizado de máquina, o melhor resultado foi com o algoritmo Random Forest. Além dessa técnica, os autores utilizaram a medida-F para medir o desempenho da classificação, e foi observado que o desempenho é melhor quando as técnicas de análise estática e dinâmica são aplicadas juntas.

Prado, Penteado e Grégio (2016) desenvolveram uma heurística para detectar um comportamento malicioso. Para isso o estudo utilizou a técnica de análise dinâmica. O modelo desenvolvido agrupa algumas característica e informações para definir uma ação suspeita. Assim, foram especificadas algumas características para uma heurística geral, e definido a detecção comportamental, em que templates seriam criados.

Prado, Penteado e Grégio (2016) utilizaram os templates criados para encontrar instâncias de comportamento de acordo com o algoritmo estabelecido. Para realizar os testes, os

autores pegaram amostras maliciosas e benignas. Assim, Prado, Penteado e Grégio (2016) obtiveram os resultados que mostraram que é viável aplicar heurísticas baseados nos comportamentos para detecção dos *malwares*.

Sihwail, Omar e Ariffin (2018) realizaram o estudo das técnicas para análise dos códigos maliciosos. Os métodos de detecção baseado em assinatura e detecção baseada em heurística foram apresentados. Sihwail, Omar e Ariffin (2018) citaram as técnicas de análise estática, dinâmica, híbrida e análise de memória.

Sihwail, Omar e Ariffin (2018) apresentaram a comparação de trabalhos que estudam exemplares de *malwares* e mostram as técnicas utilizados pelos arquivos maliciosos para evitar a detecção. Além de apresentarem as técnicas para evitar a detecção, Sihwail, Omar e Ariffin (2018) mostraram como que os códigos maliciosos conseguem acesso ao sistema alvo.

3 Máquina Virtual

Antes de qualquer análise envolvendo um código malicioso, é necessário configurar um ambiente seguro que impeça ao código malicioso infectar a máquina do analista. Uma máquina sem um configuração de segurança pode permitir que o código malicioso se espalhe facilmente para outras máquinas conectadas pela rede. Um ambiente seguro permite ao analista investigar o código malicioso sem expor a máquina de produção ou outras máquinas da rede a um risco desnecessário.

Atualmente, é possível utilizar uma máquina física dedicada ou uma máquina virtual no estudo de códigos maliciosos. Este trabalho utiliza uma máquina virtual em que é possível até mesmo executar o código malicioso. Uma Máquina Virtual possui uma estrutura onde se pode exemplificar como sendo um computador dentro de outro computador, conforme figura 1.

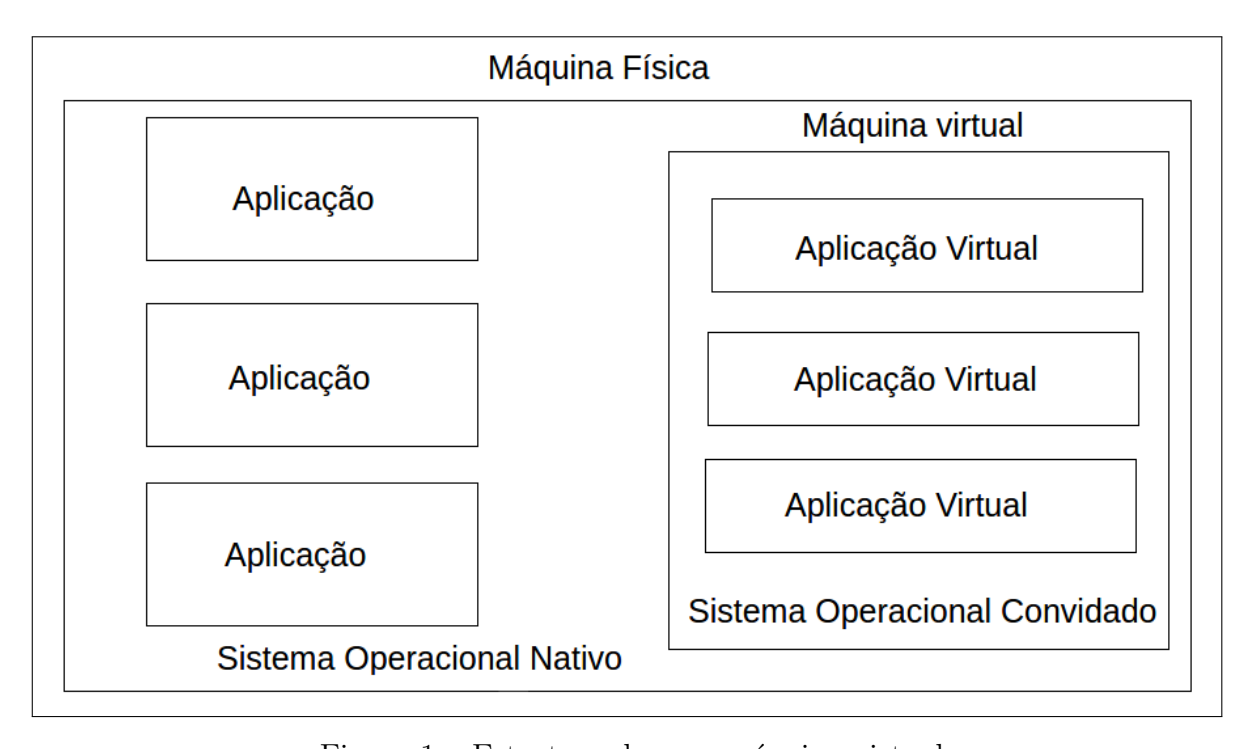


Figura 1 – Estrutura de uma máquina virtual

Próprio Autor

Ou seja, um computador possui um sistema operacional nativo e suas aplicações conforme representado pela figura 1. Quando uma máquina virtual é instalada, é possível que seja instalado um sistema operacional diferente do sistema nativo do computador. Assim, as aplicações e ações realizadas nesse sistema convidado não afetam o sistema operacional nativo da máquina.

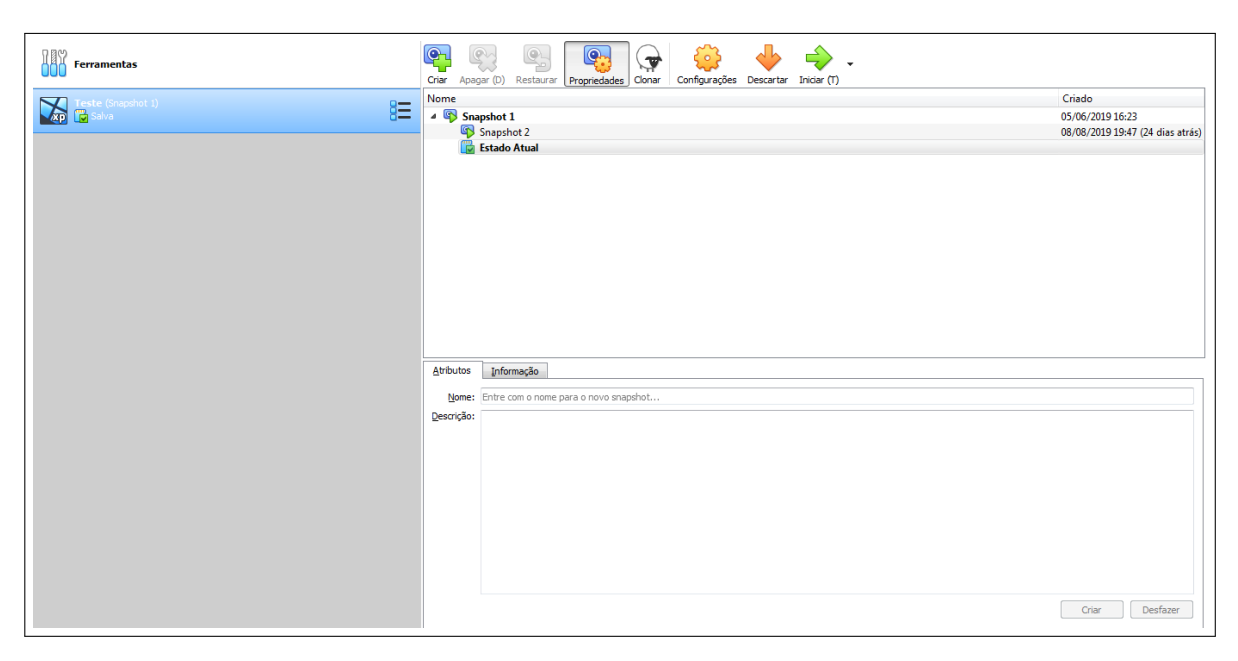


Figura 2 – Tela inicial da máquina virtual VirtualBox

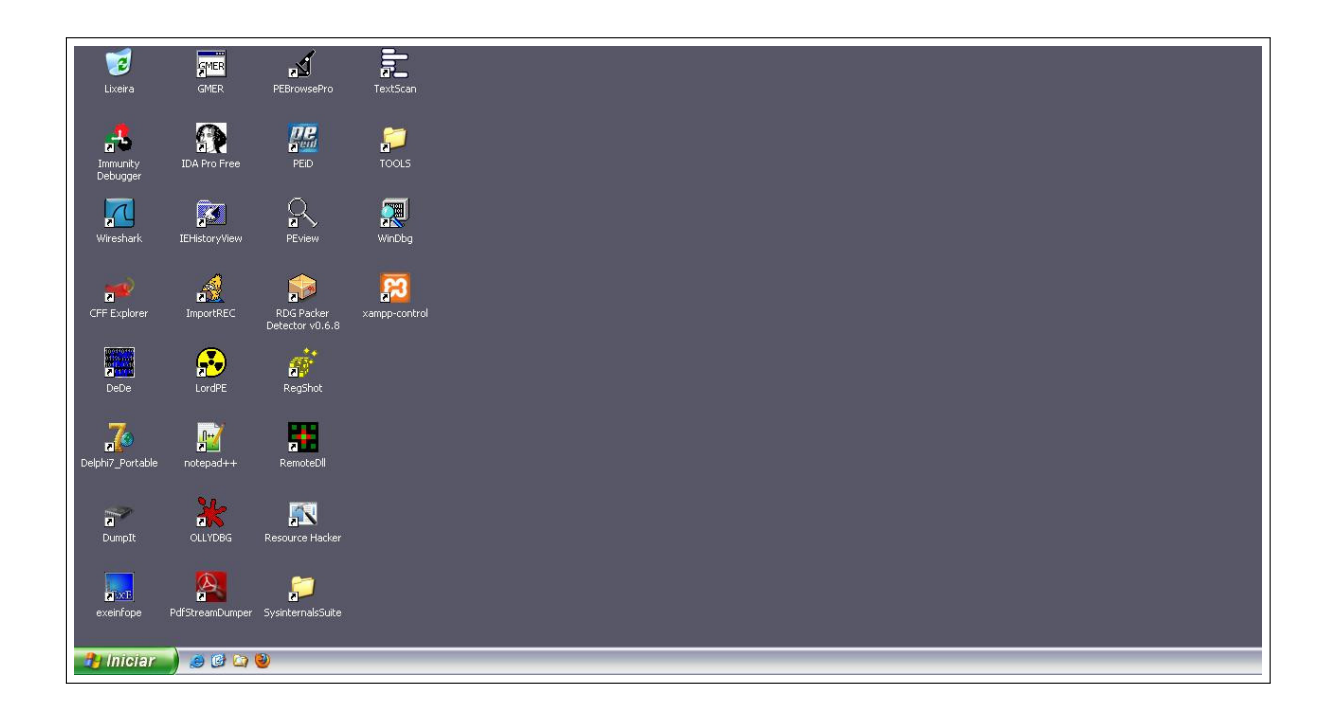


Figura 3 – Sistema Operacional $Windows \ XP$ instalado na máquina virtual Próprio Autor

A imagem 2 apresenta a máquina virtual *VirtualBox*. Na tela inicial é possível instalar mais de um sistema operacional. Já a imagem 3 apresenta um exemplo de sistema operacional instalado na máquina virtual *VirtualBox*, o qual é o *Windows XP*.

Também é possível que sejam feitos snapshots da máquina virtual, ou seja, é possível realizar "fotografia" do estado atual da máquina virtual. Assim caso ocorra algum problema, é possível restaurar a maquina virtual ao estado anterior. As imagens 4, 5 e 6 mostram o processo de restauração da máquina virtual.

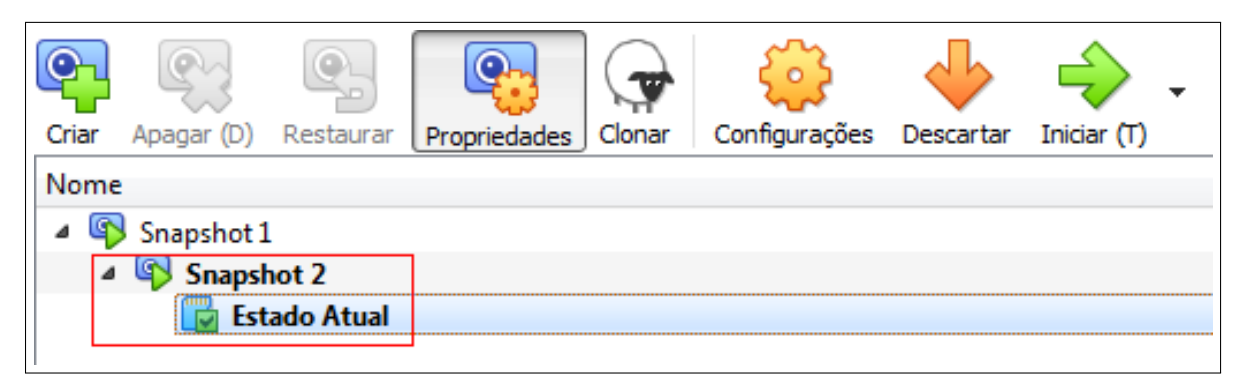


Figura 4 – Imagem que representa o estado atual da máquina virtual

Próprio Autor



Figura 5 – Imagem que representa o estado modificado da máquina virtual

Próprio Autor



Figura 6 – Imagem que representa a restauração da máquina virtual

Próprio Autor

A imagem 5 apresenta o estado da máquina virtual modificado após a utilização da mesma. Assim é possível restaurar a máquina virtual ao estado anterior como a 6 apresenta.

4 Ferramentas

4.1 BinText

Essa ferramenta extrai *strings* ocultas em arquivos binários. *BinText* consegue extrair texto de qualquer tipo de arquivo e exibir texto *ASCII*, *unicode* e cadeias de recursos. A figura 7 abaixo mostra a tela da ferramenta com um arquivo aberto.

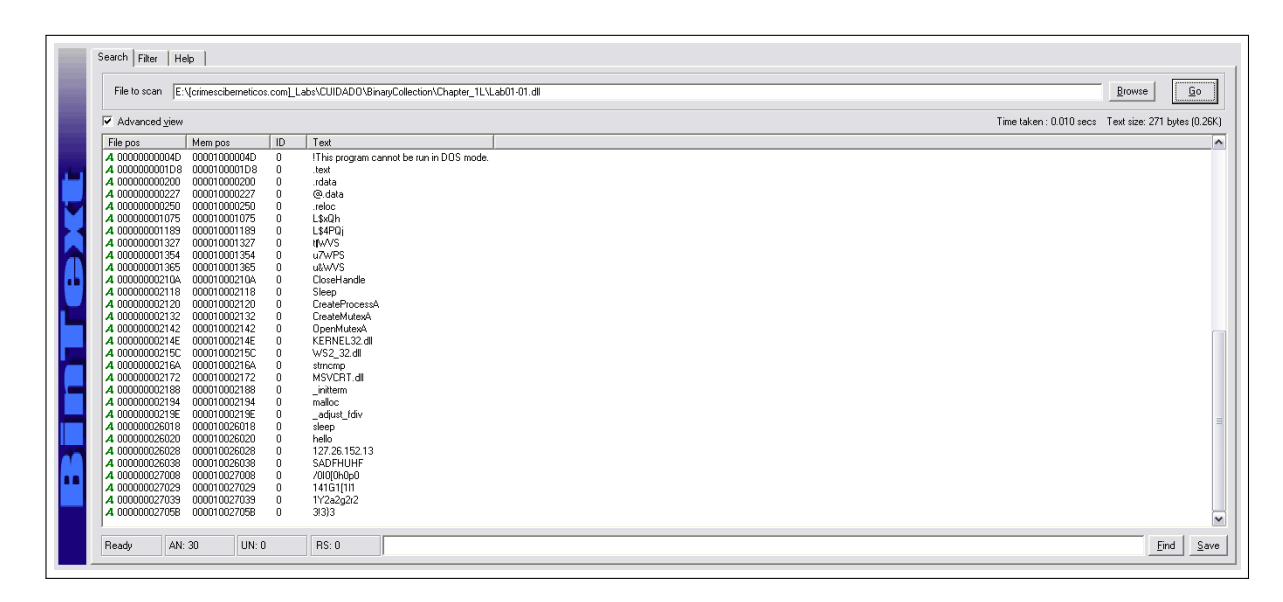


Figura 7 – Imagem do BinText com um arquivo aberto

Próprio Autor

4.2 Delphi 7

Delphi é uma linguagem de programação baseada na linguagem Pascal, e é utilizada para criar aplicações mobile, desktop e Web. A versão usada nesse trabalho é a 7. As imagens 55 e 56 na seção 5.6 apresentam a ferramenta.

4.3 Delphi Decompiler

Delphi Decompiler é uma ferramenta que possibilita realizar uma engenharia reversa no código, ou seja, quando não se tem o código original, é possível obter parte dele. A imagem 57 na seção 5.6 apresenta um exemplo do uso dessa ferramenta.

4.4 ExeinfoPE

Essa ferramenta possibilita analisar arquivos executáveis e ver todas as suas propriedades. Também é possível renomear arquivos, e obter informações como tamanho do arquivo e o ponto de entrada. A imagem 52 na seção 5.6 apresenta a ferramenta com um arquivo aberto.

4.5 FakeNet

FakeNet é uma ferramenta que simula uma rede falsa, ou seja, o malware executará suas funções sem infectar uma rede. Quando se utiliza o navegador, a ferramenta apresenta uma página padrão, isto é, pode-se alterar a URL, mas a página é a mesma. A imagem 8 mostra a execução da ferramenta no terminal e a figura 9 apresenta a página que a ferramenta cria.

```
C:\Tools>cd fakenet

C:\Tools\Fakenet>fakenet.exe

FakeNet Version 1.0

[Starting program, for help open a web browser and surf to any URL.]

[Press CTRL-C to exit.]

[Modifying local DNS Settings.]

Scanning Installed Providers

Installing Layered Providers

Preparing To Reoder Installed Chains

Reodering Installed Chains

Saving New Protocol Order

[Listening for SSL traffic on port 31337.]

[Listening for traffic on port 465.]

[Listening for traffic on port 8080.]

[Listening for traffic on port 8080.]

[Listening for SSL traffic on port 443.]

[Listening for SSL traffic on port 443.]

[Listening for traffic on port 443.]

[Listening for traffic on port 80.]

[Listening for traffic on port 80.]

[Listening for LMP traffic.]

[Listening for DNS traffic on port: 53.]
```

Figura 8 – Tela que apresenta a ferramenta inicializada no terminal

Próprio Autor

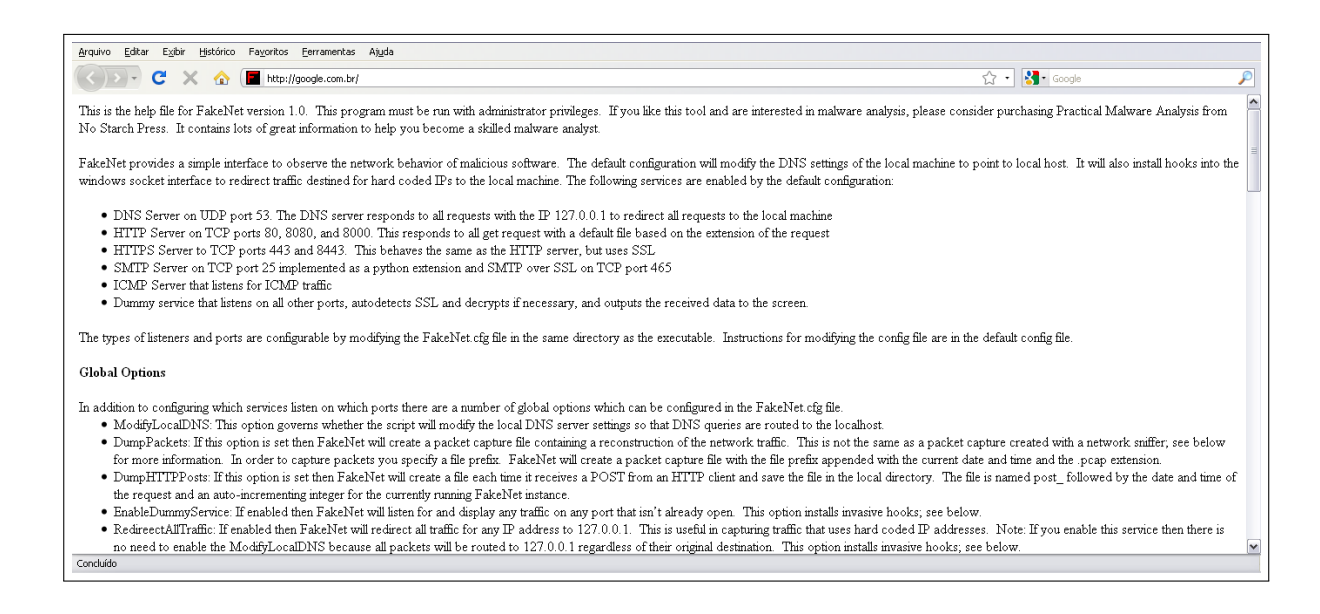


Figura 9 – Tela que apresenta o navegador com a página da ferramenta

4.6 IDA PRO

Essa ferramenta, segundo Sihwail, Omar e Ariffin (2018), exibe instruções assembly, fornece informações sobre o código analisado e extrai um padrão para identificar o programa malicioso. A imagem 10 apresenta a tela inicial da ferramenta.

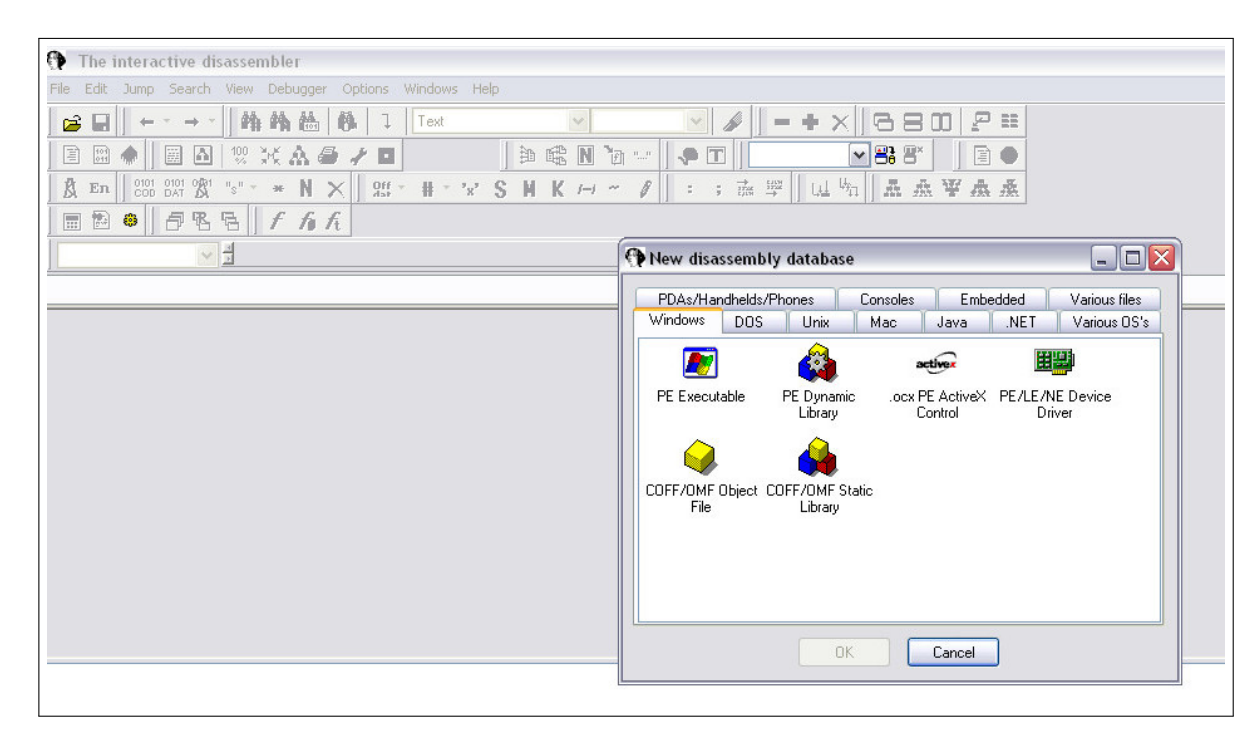


Figura 10 – Tela inicial da ferramenta IDA Pro

4.7 OllyDBG

Essa ferramenta é um debugger que é utilizada para monitorar a execução do comportamento de binários suspeitos em nível de instrução (SIHWAIL; OMAR; ARIFFIN, 2018). Segundo o Sihwail, Omar e Ariffin (2018), um debugger é um tipo de ambiente controlado, o qual é um programa que observa e examina a execução de outros programas binários. A figura 11 mostra um arquivo aberto na ferramenta.

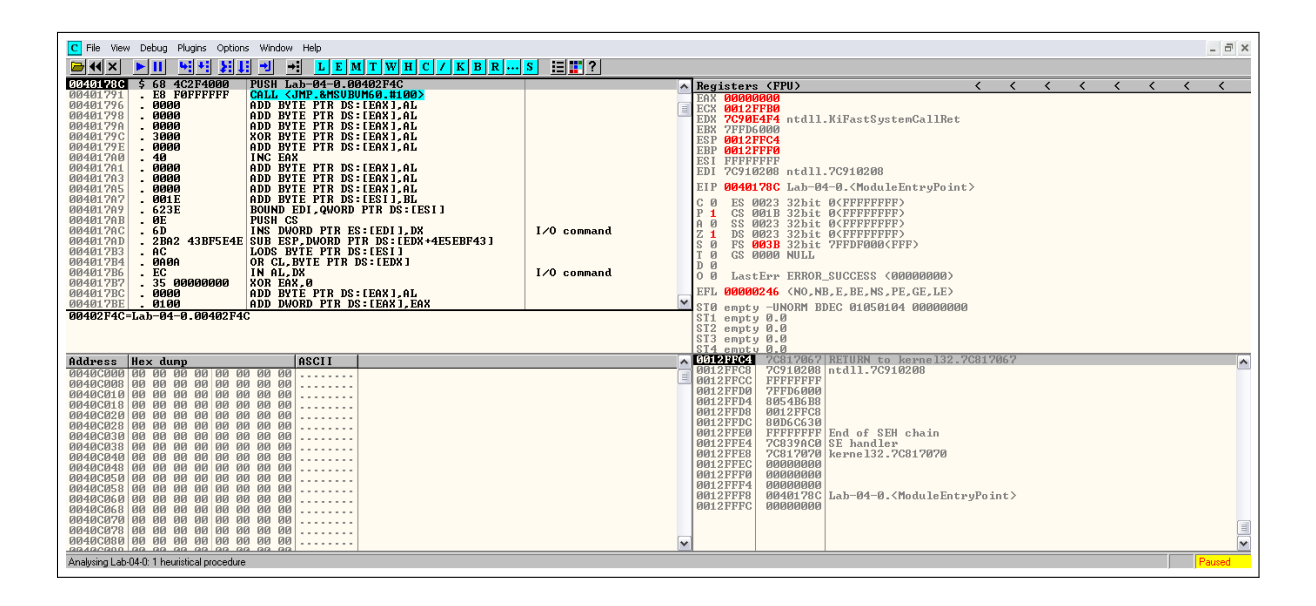


Figura 11 – Tela do OllyDBG com o arquivo analisado aberto

4.8 *PEiD*

Esse programa é utilizado para identificar o compilador utilizado pelo arquivo estudado e verificar se o código está empacotado. A figura 17 na seção 5.1 mostra a ferramenta com um arquivo aberto.

4.9 PeView

Nessa ferramenta é possível ver as informações do cabeçalho do arquivo e as diferentes seções do mesmo. Esse programa mostra informações sobre data de criação dos arquivos, as bibliotecas DLLs do mesmo e se o código acessa a rede mostrando endereço IP ou URL. A imagem 18 mostra o PeView com um arquivo aberto.

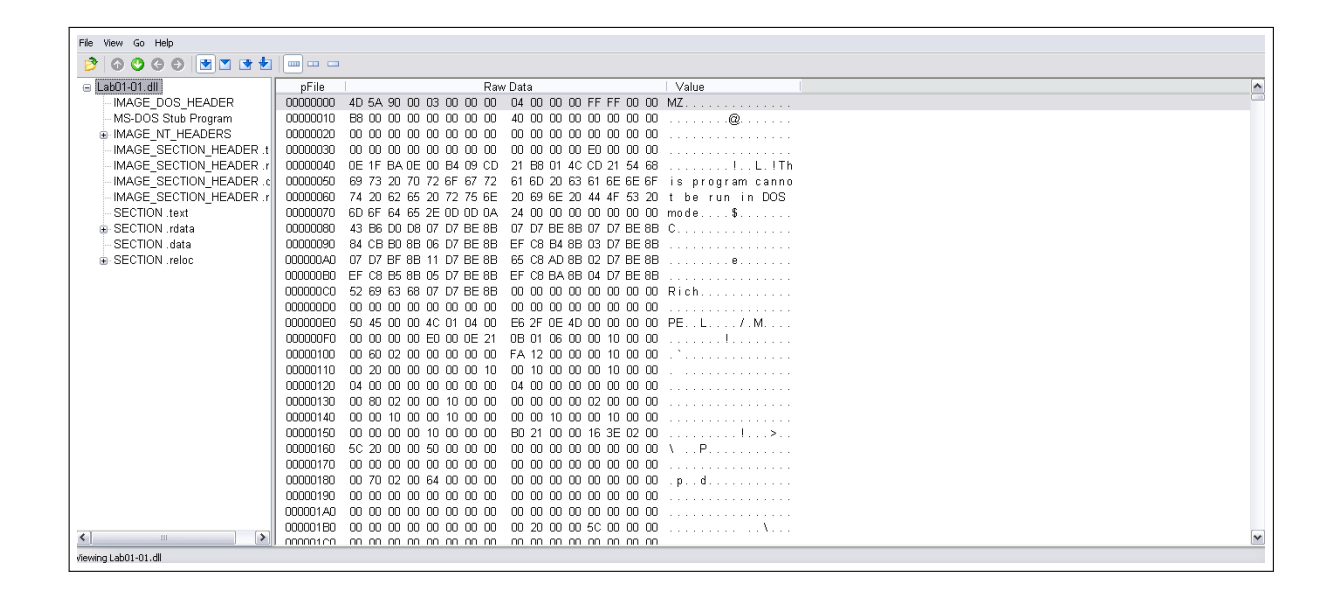


Figura 12 – Imagem do PeView com um arquivo aberto

4.10 Process Explorer

Essa ferramenta, de acordo com (MICROSOFT, 2020a), mostra informações sobre quais identificadores e processos de DLLs foram abertos ou carregados. A imagem 13 mostra o $Process\ Explorer$.

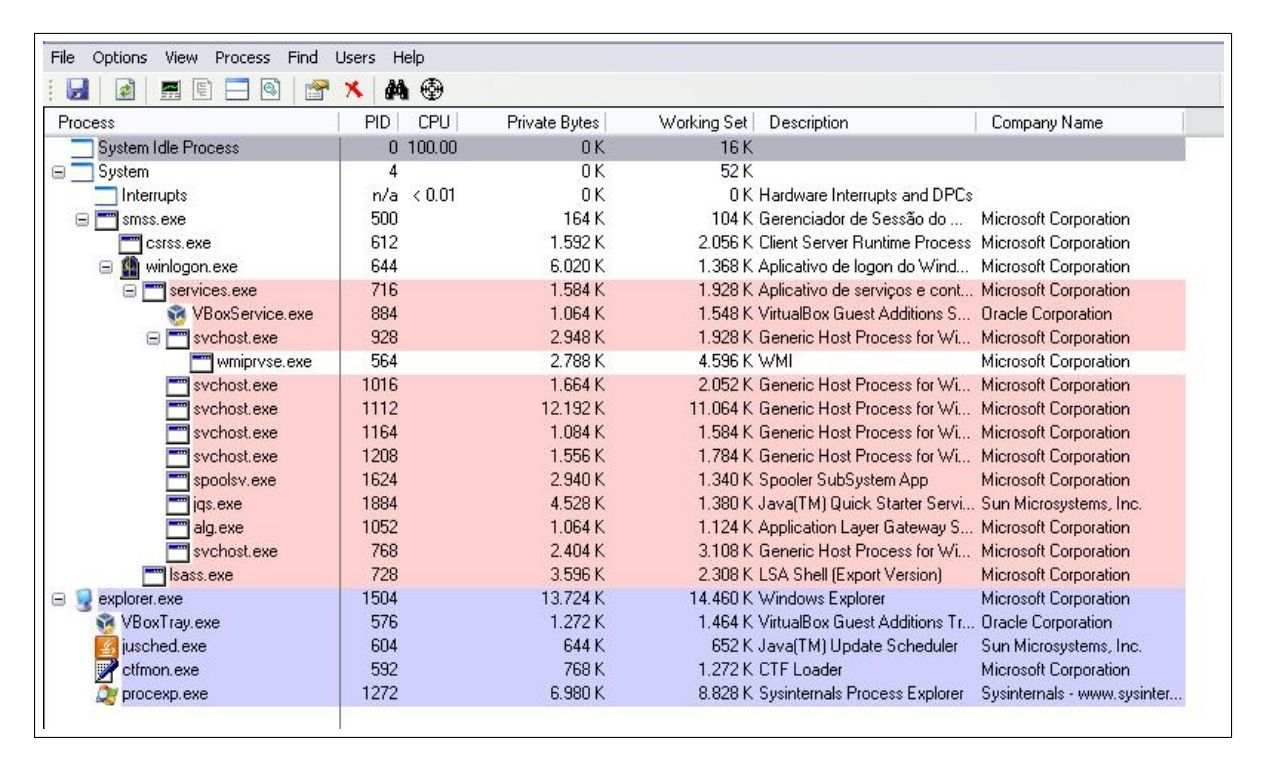


Figura 13 – Tela do *Process Explorer*

4.11 Process Monitor

Essa ferramenta é um programa de monitoramento, para *Windows*, a qual mostra em tempo real arquivos de sistema, registros, processos e *threads* (MICROSOFT, 2020b). A a imagem 14 mostra a tela inicial da ferramenta.

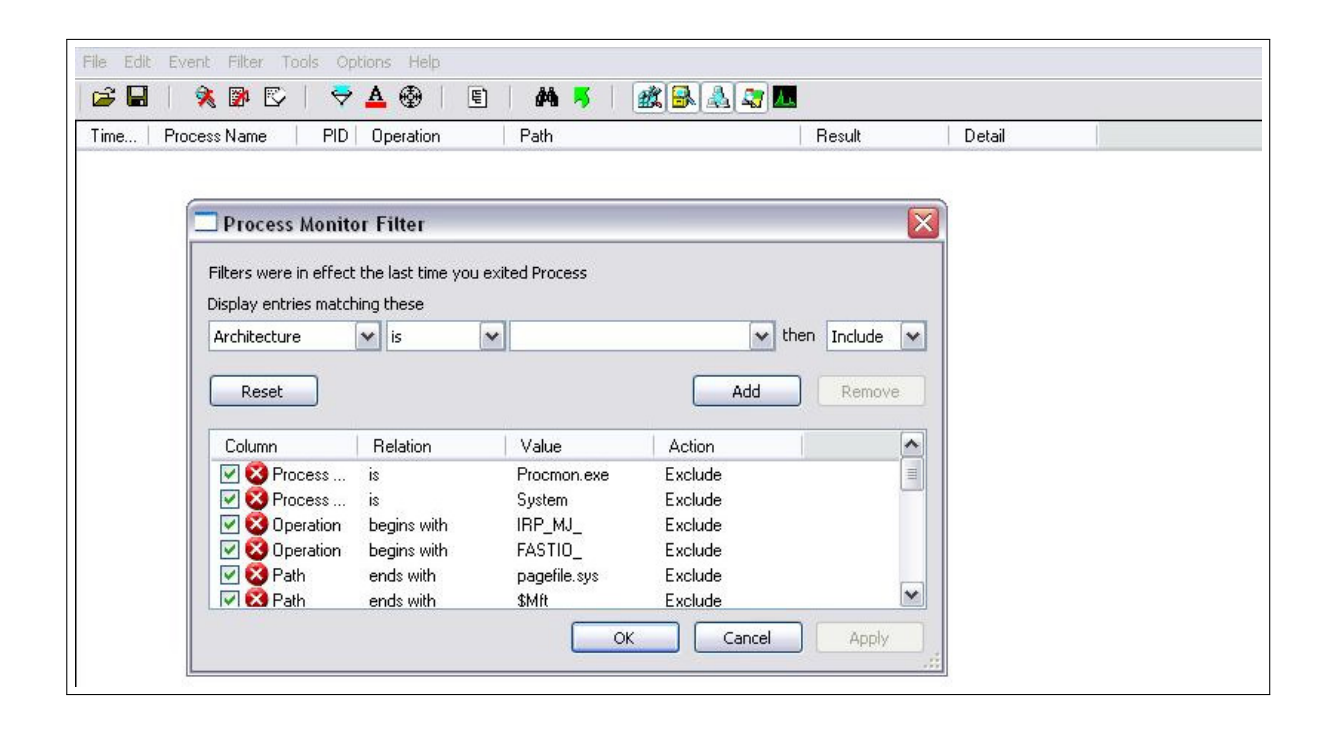


Figura 14 – Tela inicial do *ProcMon*

4.12 Regshot

O *RegShot* é utilizado para verificar mudanças no registro, ou seja, a ferramenta faz uma "fotografia" do registro antes e depois de executar o *malware* e assim mostrar as modificações feitas pelo código. A imagem 15 abaixo mostra esse programa.



Figura 15 – Tela da ferramenta RegShot

4.13 *UPX*

Esse programa é utilizado tanto para desempacotar arquivos como empacotá-los. Nesse trabalho foi utilizada para desempacotar os arquivos analisados. O comando upx-d [caminho do arquivo] é utilizado para isso. A imagem 23 na seção 5.2 mostra a ferramenta desempacotando o arquivo analisado.

4.14 Virus Total

Esse site faz análise de arquivos passando por vários antivírus e mostrando quais desses programas conseguiram identificar o arquivo. Nessa ferramenta, é possível ver as propriedades básicas do arquivo, como o hash do programa, o tamanho do arquivo, o tipo do mesmo, e se utiliza empacotadores. Também tem outras informações que são possíveis ver, as quais são a data em que o arquivo foi criado, as bibliotecas e funções utilizadas pelo mesmo e se o arquivo faz conexão com a rede. A imagem 16 mostra a tela inicial do site.



Figura 16 – Tela inicial do $site\ Virus\ Total$ Próprio Autor

5 Metodologia e Análises

O estudo requer um conhecimento científico, pois será realizado uma análise dos programas maliciosos para entender seu funcionamento e quais ações o código realiza na máquina atingida. Ao obter conhecimento do comportamento do programa malicioso, é possível identificar que tipo o mesmo se classifica. Portanto, para entender o comportamento do programa malicioso, os estudos serão realizados no laboratório do bloco de computação da Universidade Estadual de Mato Grosso do Sul (UEMS).

Neste trabalho é realizado um estudo bibliográfico sobre os tipos de *malwares* mais atuantes na comunidade de segurança. Estudou-se também as abordagens de análise estática e dinâmica de *malwares* assim como a utilização de ferramentas de apoio. Por fim são realizados sete laboratórios com características distintas que permitirão ao leitor identificar e compreender as técnicas de análise apresentadas nesse trabalho.

5.1 Arquivo disfarçado de biblioteca *DLL*

Para essa primeira análise foi utilizada a técnica de análise estática, a qual não é necessário executar o código estudado. Assim, esse primeiro estudo envolve dois arquivos, os quais um tem extensão DLL e o outro possui extensão EXE. Ambos passaram pelos programas PeView, PEiD e BinText. A primeira ferramenta utilizada foi o PEiD para verificar se o arquivo estava empacotado. De acordo com Sihwail, Omar e Ariffin (2018), malwares geralmente utilizam empacotadores para evitarem ser analisados. Assim foi visto que o código analisado não estava empacotado, como mostra a imagem 17.

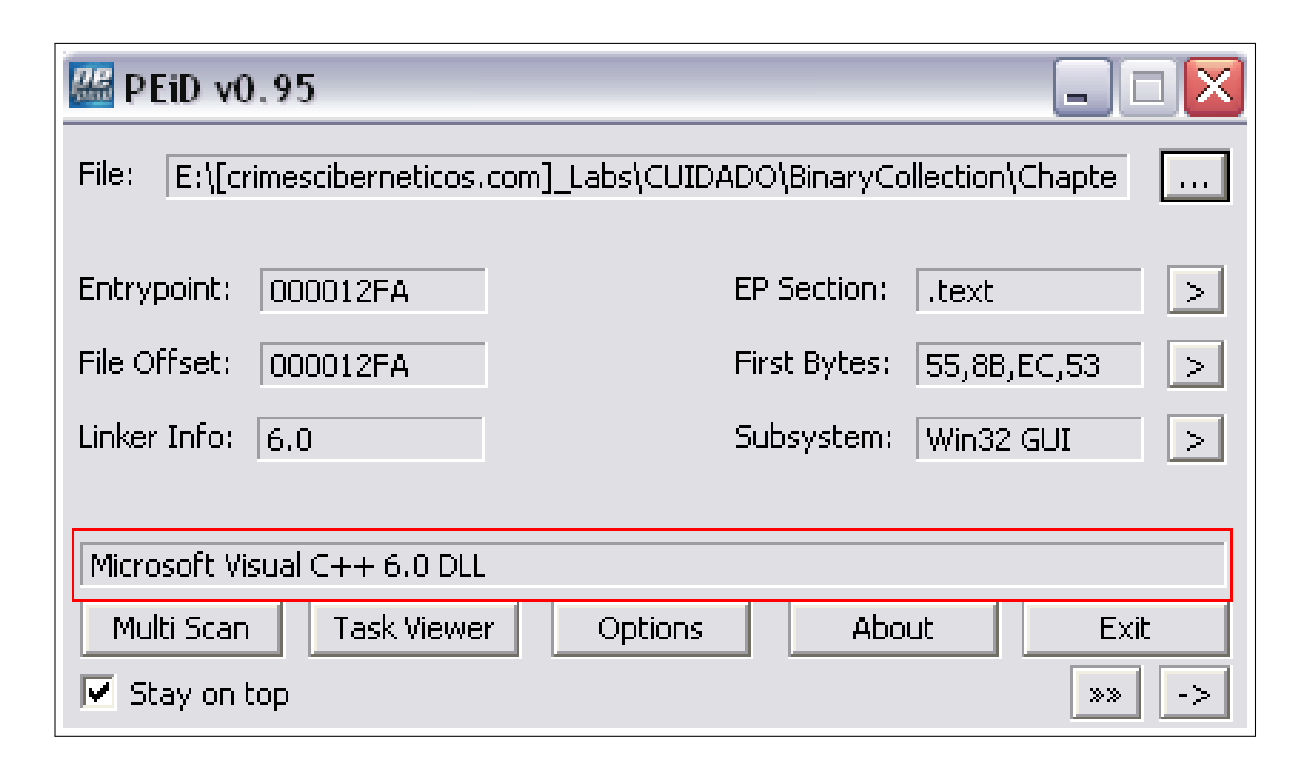


Figura 17 – Imagem do arquivo na ferramenta PEiD que mostra o compilador utilizado Próprio Autor

Após esse processo, os dois códigos passaram pelo PeView. Nessa ferramenta, foi possível ver a data de criação dos dois arquivos analisados, ambos possuem a data de compilação em 19/12/2010, com pouca diferença no horário de criação. Como arquivos DLLs não executam sozinhos, acredita-se que os dois códigos fazem parte do mesmo pacote.

Foi possível identificar, também, as bibliotecas utilizadas pelos arquivos. Ambos fazem referência a Kernel32.dll, a qual lida com gerenciamento de memória, entrada e saída de operações e interrupções; e Msvcrt.dll, que é a biblioteca de tempo de execução C. O código DLL também utiliza a biblioteca Ws2_32.dll. Essa biblioteca fornece acesso a aplicações para funções Winsock e transporta fornecedores de serviços para carregar nomes e operações de mensagens (RUSSINOVICH; SOLOMON; IONESCU, 2012).

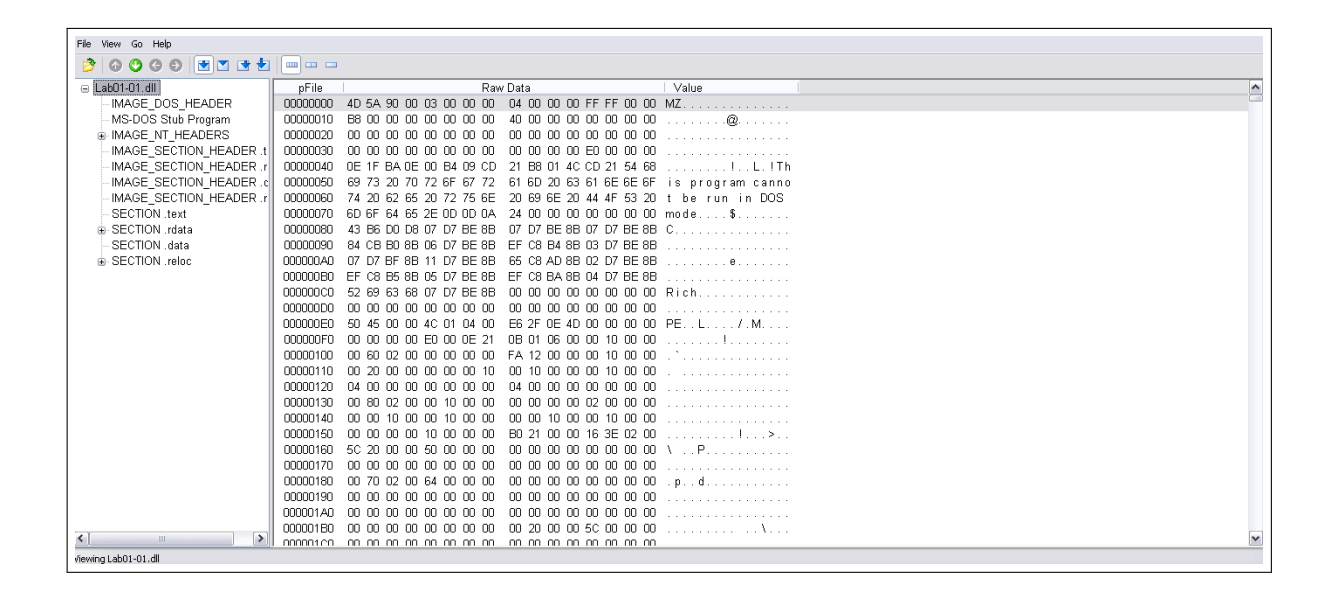


Figura 18 – Imagem do PeView com um arquivo aberto

Depois dessa análise inicial, foi utilizada a ferramenta *BinText*. Portanto, ao abrir os arquivos na ferramenta, foi possível identificar, no código executável, o endereço C:\Windows\System32\Kerne132.dll e

C:\Windows\System32\Kernel32.dll, em que no primeiro possui alteração da letra l pelo número 1 para confundir o usuário. Já no arquivo *DLL*, foi visto que o mesmo faz referência a um endereço IP. A figura 19 mostra os endereços e a figura 20 indica o endereço IP.

<i>A</i> 00000000304C	00000040304C	0	C:\windows\system32\kerne132.dll
<i>A</i> 000000003070	000000403070	0	Kernel32.
<i>A</i> 00000000307C	00000040307C	0	Lab01-01.dll
A 00000000308C	00000040308C	0	C:\Windows\System32\Kernel32.dll

Figura 19 – Imagem do BinText que indica os endereços

A 000000026020	000010026020	0	hello	
A 000000026028	000010026028	0	127.26.152.13	
A 000000026038	000010026038	0	SADFHUHF	

Figura 20 – Imagem do BinText que mostra o IP

Assim, o comportamento desse arquivo é parecido com o malware Backdoor, pois o programa tenta se esconder como se fosse um arquivo original do sistema e faz conexão com a rede. De acordo com Stallings e Brown (2015), um Backdoor consegue passar pela verificação de segurança de um sistema e permite acesso não autorizado a funcionalidades em um programa ou em um sistema comprometido.

5.2 Análise de arquivo executável empacotado

O segundo arquivo possui a extensão *EXE*, ou seja, é um executável. Para análise desse código foram utilizados o *site Virus Total*, as ferramentas *PeView*, *PEiD*, *UPX* e *BinText*. A técnica utilizada nesse estudo foi a análise estática. Portanto, para uma análise inicial, foi usado o *site Virus Total*.

Portanto, para que se inicie a análise, é preciso que seja feito o *upload* do arquivo no *site*. Assim, foi visto que o código é empacotado, como mostra a imagem 21, e possui data de compilação em 19/01/2011. Também é possível obter informações sobre as bibliotecas utilizadas pelo arquivo, as quais são *Kernel32.dll, Advapi32.dll, Msvcrt.dll* e *Wininet.dll*. De acordo com Russinovich, Solomon e Ionescu (2012), a *Advapi32.dll* implementa toda a parte do cliente SCM APIs, e a biblioteca *Wininet.dll* permite que aplicações interajam com os protocolos *HTTP* e *FTP*. A imagem 22 mostra as informações sobre a data e as bibliotecas.

Basic Properties ①				
MD5	8363436878404da0ae3e46991e355b83			
SHA-1	5a016facbcb77e2009a01ea5c67b39af209c3fcb			
SHA-256	c876a332d7dd8da331cb8eee7ab7bf32752834d4b2b54eaa362674a2a48f64a6			
Vhash	03303e0f7d1019z601pz1bz			
Authentihash	c0dd97382560a28cc053de86b9505ea78390147de7021744eb49d9b55e3d152f			
Imphash	096aa05b8a2e1f2dc66fc73a1a978a7b			
SSDEEP	48:atUKzxRhvlNZEVtfbn4m3ZUJSSeJY8JTalcLoBgs:0UKXktfb4KOJzcK			
File type	Win32 EXE			
Magic	PE32 executable for MS Windows (console) Intel 80386 32-bit			
File size	3.00 KB (3072 bytes)			
F-PROT	UPX			
PEiD	UPX v0.89.6 - v1.02 / v1.05 -v1.24 -> Markus & Laszlo [overlay]			

Figura 21 – Tela do $site\ Virus\ Total,$ a qual indica que o arquivo é envelopado Próprio Autor

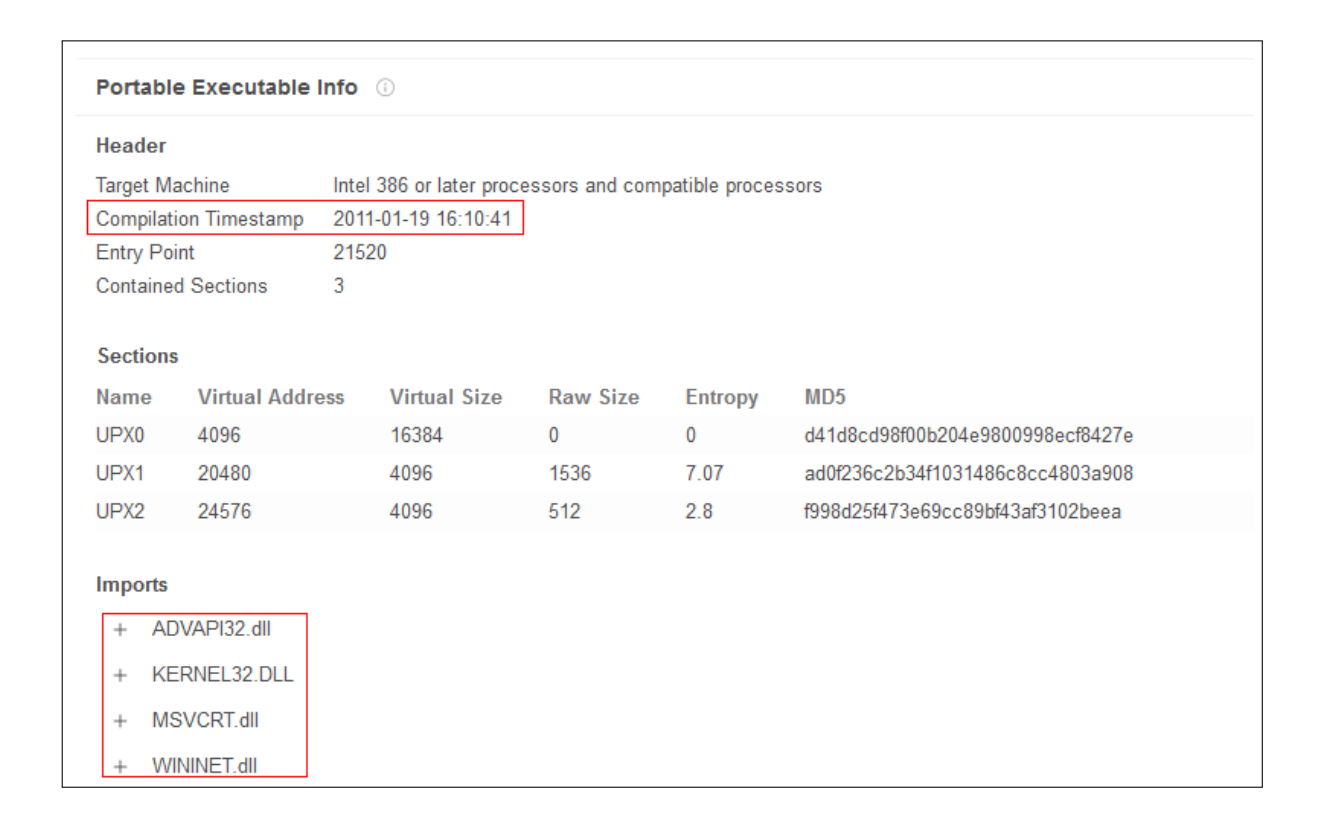


Figura 22 – Tela do $site\ Virus\ Total,$ que mostra a data de compilação e as bibliotecas Próprio Autor

Depois de ver que o arquivo é empacotado, é necessário que o arquivo seja desempacotado para continuar a análise, uma vez que não é possível obter muitas informações com o mesmo envelopado. Assim, para realizar esse processo, foi utilizado o programa *UPX*, como mostra a imagem 23.

```
C:\T00LS\upx308w\upx -d C:\Lab01-02.exe

Ultimate Packer for executables
Copyright (C) 1996 - 2011

UPX 3.08w Markus Oberhumer, Laszlo Molnar & John Reiser Dec 12th 2011

File size Ratio Format Name
16384 <- 3072 18.75% win32/pe Lab01-02.exe

Unpacked 1 file.

C:\T00LS\upx308w>_
```

Figura 23 – Tela do arquivo submetido ao UPX

Próprio Autor

Após utilizar o UPX, o arquivo foi aberto pelo programa PEiD, e assim foi possível identificar a informação $Microsoft\ Visual\ C++\ 6.0$, a qual indica o sobre o compilador utilizado pelo código. A imagem 24 mostra essa informação.

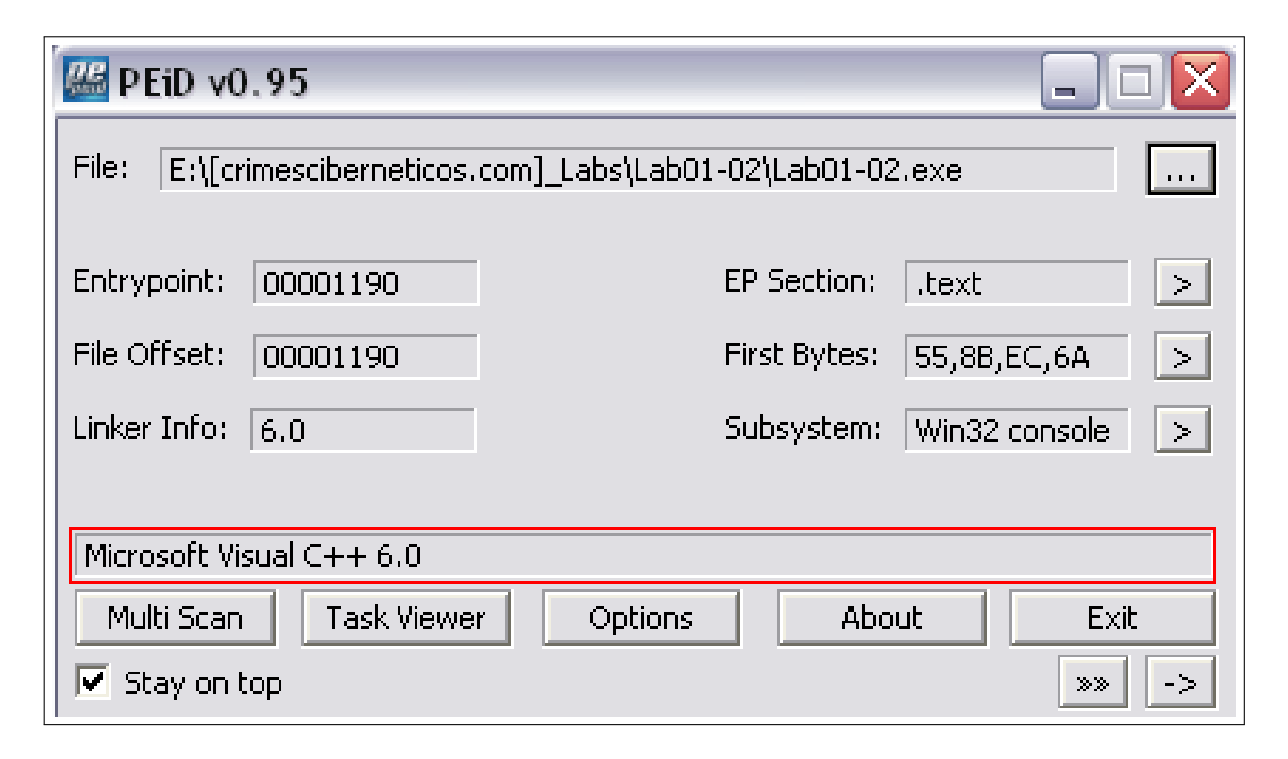


Figura 24 – Tela do arquivo após ser desempacotado e submetido ao PEiD

Depois de realizar esses procedimentos, o arquivo foi aberto pelo programa PeView. É importante destacar que o arquivo faz referência a uma URL, portanto o código faz uma conexão a rede. A imagem 25 mostra essa informação.

pFile						Raw	Dat	а							Value
00003000	00 00	00 0	00 00	00	00	00	00	00	00	00	00	00	00	00	
00003010	4D 61	6C 5	53 65	72	76	69	63	65	00	00	4D	61	6C	73	MalServiceMals
00003020	65 72	76 8	69 63	65	00	00	48	47	4C	33	34	35	00	00	erviceHGL345
00003030	68 74	74 7	70 3A	2F	2F	77	77	77	2E	6D	61	6C	77	61	http://www.malwa
00003040	72 65	61 6	6E 61	6C	79	73	69	73	62	6F	6F	6B	2E	63	reanalysisbook.c
00003050	6F 6D	00 0	00 49	6E	74	65	72	6E	65	74	20	45	78	70	omInternet Exp
00003060	6C 6F	72 8	55 72	20	38	2E	30	00	00	00	01	00	00	00	lorer 8.0

Figura 25 – Tela do *Peview* que mostra a *url* utilizada pelo código

Próprio Autor

Desse modo, ao analisar o comportamento do código, o mesmo pode ser classificado como *Drive-by-Download*, uma vez que o mesmo faz conexão com a rede e faz referência a uma *URL*. Segundo Stallings e Brown (2015), um *Drive-by-Download* utiliza seu código em um *website* comprometido para assim explorar uma vulnerabilidade no navegador para atacar um sistema de um cliente quando o *site* é visitado.

5.3 Análise de arquivo executável com strings criptografadas

Esse estudo envolve um programa, o qual tem extensão SCR, ou seja, é uma extensão de arquivos de screen saver. Para realizar essa análise foram utilizadas as técnicas de análise estática e dinâmica. O programa passou pelas ferramentas PEiD, BinText, UPX e OllyDGB. A primeira ferramenta utilizada nessa análise foi o PEiD. Assim, como mostra a imagem 26, a ferramenta indica qual programa para empacotar foi utilizado pelo código. Portanto para desempacotá-lo foi utilizado a ferramenta UPX, como a imagem 27 mostra.

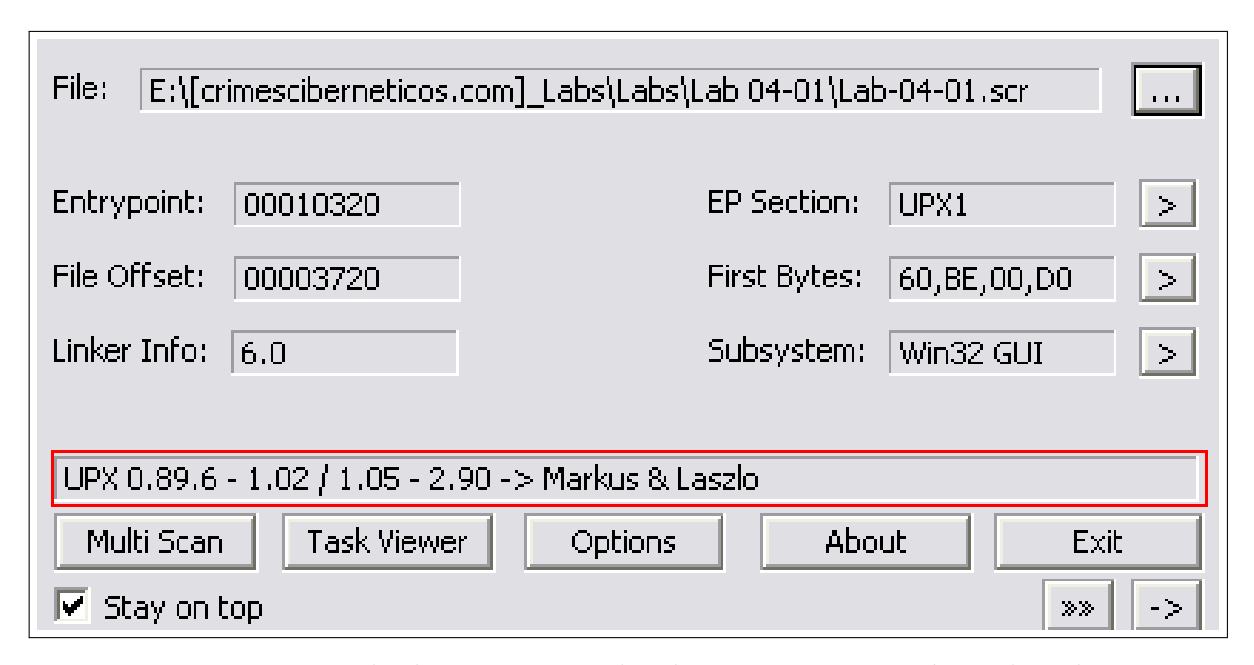


Figura 26 – Tela do PEiD, a qual indica que o arquivo é envelopado



Figura 27 – Tela do UPX

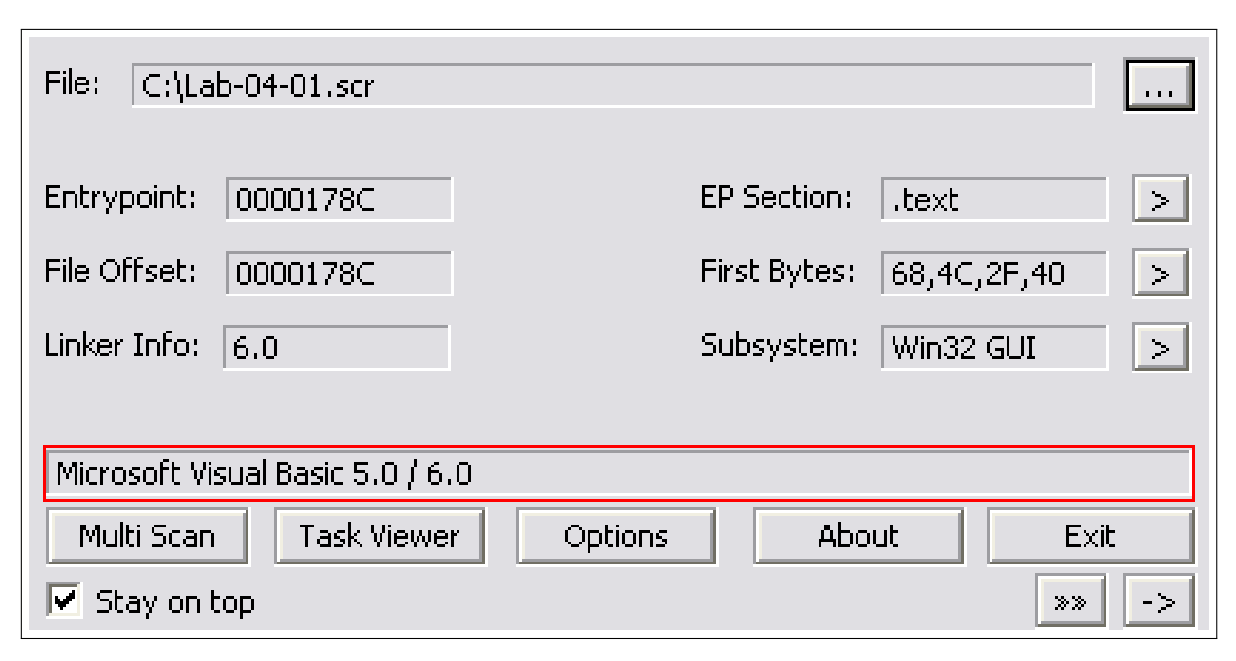


Figura 28 – Tela do *PEiD*, a qual indica que o arquivo foi desenvelopado

Depois de identificar que o arquivo estava empacotado e realizar o processo de desempacotamento, o código passou novamente pela ferramenta PEiD, como a imagem 28 mostra. Assim, é possível realizar a análise pelo BinText. Portanto, como mostra a figura 29 abaixo, foi identificado que a pessoa que programou esse malware, colocou-o na pasta documentos e settings. Também é possível visualizar o nome da pessoa.

```
₩ 00000000300B

               00000040300B
                                     @*\AC:\Documents and Settings\dilma\Desktop\Loader_BEYBAO\Project1.vbp

₩ 00000000386C

               00000040386C
                              0
                                     nwTW2wACnwK72kA7nwT
U 0000000038DC
               0000004038DC
                              0
                                     nkJz2SN8nSjz2SYmnHK7nSYunH2OnkjF
                                     nkjOykNcnk272FAC2HAW2FYFnHAWnFYWnSpWKFKFnH2z2FYunSK
**** 000000003980
               000000403980
                              Π
                                     nkKOnkYmnHKWnSYunSAznFYWnFpt/kA7nkYW2SYWnF2O/SjWnFpO2FYWnA272FNwnF2OykY7
000000403CD4
```

Figura 29 – Tela do BinText identificando pasta e nome da pessoa

Próprio Autor

Após esses procedimentos iniciais, a ferramenta utilizada foi o *OllyDGB*. Quando se realiza um *debugging* é possível navegar pelo código, além de ajudar na execução de trecho do mesmo, alterar valores e instruções em tempo de execução e permite analisar as *strings*. É interessante destacar a importância das *strings*, uma vez que podem indicar as ações realizadas pelo *malware*.

Portanto, antes de continuar a análise, é importante entender o que são essas *strings*. Uma *string* é uma sequência de caracteres, ou seja, é um conjunto de símbolos, os quais podem ser uma letra, um número, pontuação ou qualquer outro símbolo representado pelo teclado do computador. Assim, as *strings* podem indicar uma mensagem, uma *URL*, caminhos de arquivos e chaves no registro. No entanto, muitas vezes essas *strings* apare-

cem criptografadas, isto é, estão embaralhadas a fim de evitar a leitura e o entendimento delas. A figura 30 mostra um exemplo de *strings* criptografadas.

```
"nFĤzykjunFHt/wNTnHKt/wY7nSKt2wKonwfFKk/TnTKFKkAFnk2"
"2SjtyK"
"nkjOykNonSKO/SjznF27KFYunFYOnksonkpOykYFnSfW/SKFnH2O2kjFnF2WKFKFnH2z2FYunSK"
"nHAO/wN8nH2Onwj7nHAt/kY7nH2OKC"
"nS2O/kYOnHKz2SjCnH2t/kY7nH2OKC"
"nHKO/SjOnHpOnwYWnFft/kY7nH2OKC"
```

Figura 30 – Imagem indicando um exemplo de Strings criptografadas

Próprio Autor

Portanto, devido a importância das *strings*, nesse estudo é feito uma análise a fim de identificá-las. A ferramenta utilizada possui uma opção que consegue mostrar todas as *strings* do código analisado. Para realizar essa ação é só clicar com o botão direito para opção *search for* e depois ir em *all reference text strings*. Essa opção abrirá uma nova janela, a qual apresenta três colunas. A primeira coluna indica o endereço em que a *string* está, a segunda representa a instrução e a terceira indica um comentário da ferramenta. A imagem 31 mostra parte da janela aberta pela opção e as três colunas.

A ferramenta busca *strings* no local em que estão armazenadas, pois em alguma parte do segmento de memória há o armazenamento delas, e o local que estão sendo executadas, que representa a coluna *disassembly*. Em algumas dessas colunas há o comando MOV EDX, o qual indica onde a *string* está sendo utilizada.

Sabe-se que a instrução MOV se refere a uma *string* por conta do ponteiro, por exemplo, o valor 00.40.38.6C, como a imagem 31 mostra. Nesse endereço há uma *string* e na coluna da frente a mesma é apresentada. Para chegar à posição de memória onde a *string* está sendo utilizada, basta dar dois cliques na *string*. Nesse ponto, a ferramenta vai para a janela de código e mostra aonde a *string* está sendo utilizada, conforme pode ser visto na imagem 32.

```
      00404F18 | ASCII "__vbaInStrVar",0

      00404F28 | ASCII "__vbaVarSub",0

      00404F34 | ASCII "__vbaI2Var",0

      00404F49 | ASCII "__vbaI214",0

      00404F40 | ASCII "__vbaI214",0

      00405D4F | MOV EDX.Lab-04-0.0040386C | UNICODE "nwTW2wACnwK72kA7nwT"

      00405DA6 | MOV EDX,Lab-04-0.004038D0 | UNICODE "nA2"

      00405E13 | MOV EDX,Lab-04-0.004038D0 | UNICODE "nA2"

      00405E65 | MOV EDX,Lab-04-0.004038DC | UNICODE "nkJz2SN8nSjz2SYmnHK7nSYunH2OnkjF"
```

Figura 31 – Imagem da janela da opção que mostra as strings do programa analisado

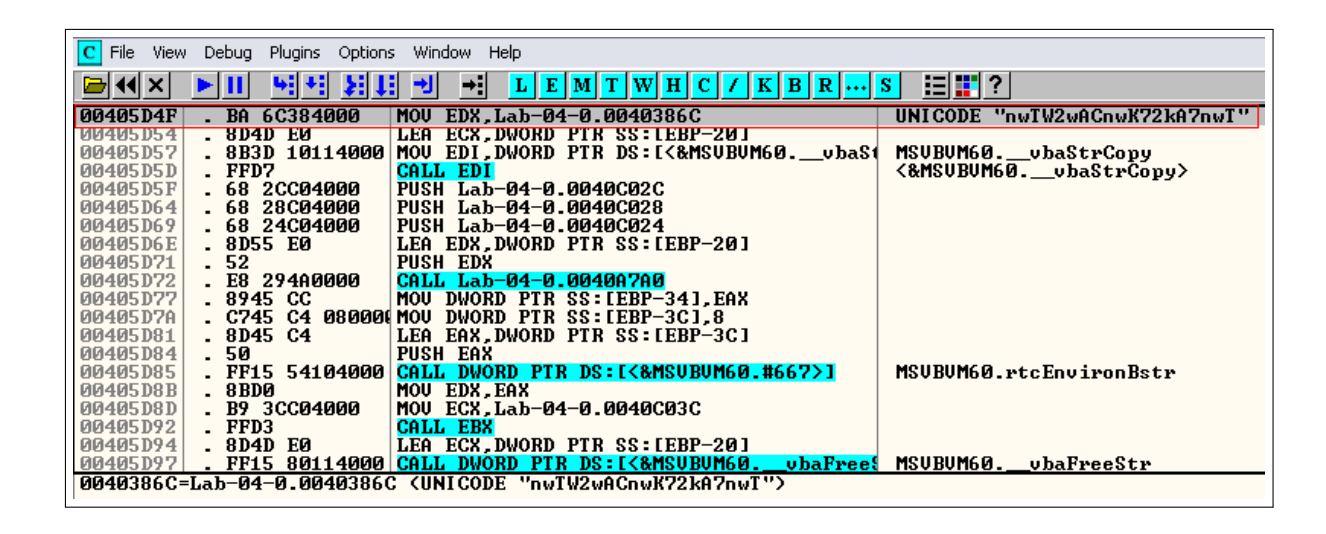


Figura 32 – Imagem que mostra aonde a *string* está sendo utilizada

É interessante destacar a importância do conjunto de instruções que se segue após a apresentação da *string*, já que é comum ter no código a função que realiza a descriptografia das *strings*. Assim, para conseguir identificar essa função, é importante verificar se há um padrão no código analisado.

As imagens 33 e 34 abaixo mostram a sequência de instruções após a apresentação de duas *strings*. É interessante destacar que ambas possuem uma chamada CALL com o registrador ESI, o qual também pode ser EDI, quatro instruções PUSH e uma chamada CALL com o mesmo endereço 40A7A0.

004077C8	. BA 10434000	MOU EDX,Lab-04-0.00404310	UNICODE "nSfO/SjWnF2OnkYFnSTz2f"
004077CD	. 8D4D D4	LEA ECX,DWORD PTR SS:[EBP-2C]	
004077D0	. FFD6	CALL ESI	
004077D2	. 68 2CC04000	PUSH Lab-04-0.0040C02C	
004077D7	. 68 28C04000	PUSH Lab-04-0.0040C028	
004077DC	. 68 24C04000	PUSH Lab-04-0.0040C024	
004077E1	. 8D45 D4	LEA EAX.DWORD PTR SS:[EBP-2C]	
004077E4	. 50	PUSH FAX	
004077E5	. E8 B62F0000	CALL Lab-04-0.0040A7A0	

Figura 33 – Imagem que mostra o trecho de código após a apresentação de uma string

00407C5B	> BA E4444000	MOU EDX,Lab-04-0.004044E4	UNICODE "nSKO2kY7nHYz2F2m"
00407C60	. 8D4D D4	LEA ECX,DWORD PTR SS:[EBP-2C]	
00407C63	. FFD6	CALL ESI	
00407C65	. 68 2CC04000	PUSH Lab-04-0.0040C02C	
00407C6A	. 68 28C04000	PUSH Lab-04-0.0040C028	
00407C6F	. 68 24C04000	PUSH Lab-04-0.0040C024	
00407C74	. 8D45 D4	LEA EAX.DWORD PTR SS:[EBP-2C]	
00407C77	. 50	PUSH EAX	
00407C78	. E8 232B0000	CALL Lab-04-0.0040A7A0	

Figura 34 – Imagem que mostra o trecho de código após a apresentação de outra string

O fato deste padrão de código sempre se repetir torna esse código muito suspeito, já que a *string* possui a função de descriptografia logo após a sua chamada. Desta forma, pode-se concluir que essa função é a que faz a descriptografia da *string*. A mesma função está sendo utilizada para descriptografar todas as *strings*.

Como o código sempre realiza a chamada CALL para o mesmo endereço será colocado um breakpoint nele. Um breakpoint é um ponto de parada, ou seja, quando executar o código, o mesmo irá executar até esse ponto. Para colocar um breakpoint é só apertar a tecla F2.

Após colocar o breakpoint é possível executar o código. É importante observar, na janela de registradores, o padrão de string executado. Como não se sabe se a execução do código será muito demorada, então a opção de executar linha a linha será descartada, pois pode ter muitas instruções, loops e chamadas recursivas. Neste ponto, o importante é o retorno da função, já que ele mostrará a string descriptografada.

Portanto, para executar a opção inteira sem interrupções, a ferramenta possui a opção execute till return em debug. Após a execução será utilizado a tecla F7 para executar linha a linha até chegar ao código que chama a função mencionada. No final, chega-se ao trecho de código destacado nas imagens anteriores. Nesse ponto podemos visualizar o resultado do retorno. Normalmente, o resultado aparece no registrador EAX. Assim sendo, visualizando o EAX aparecerá a string "APPDATA". A imagem 35 mostra o padrão de código e o retorno da função no registrador com a string "APPDATA".



Figura 35 – Imagem que mostra a *string* criptografada, o padrão de código analisado e a *string* descriptografada no registrador EAX

Próprio Autor

Após identificar a função que realiza a descriptografia e verificar o retorno, é possível que outras *strings* sejam analisadas. Como a mesma função realiza a descriptografia de todas as outras *strings*, foi selecionado um trecho de código em que possui uma *string*. Assim, foi colocado um *breakpoint* no endereço 405D4F e retirado o ponto de parada que estava em 405A7A0. Após colocar esse novo *breakpoint* o código foi executado.

Ao parar no *breakpoint*, o valor da *string* utilizada foi alterado para o valor de outra *string*. Para realizar essa mudança é só clicar com o botão direito em cima da *string* e selecionar a opção *assemble*. Essa opção abrirá uma janela com a instrução MOV, como a imagem 36 mostra.

00405D4F	. BA 6C384000	MOU EDX, Lab-04-0.0040386C	UNICODE "nwTW2wACnwK72kA7nwT" A Regis
00405D54 00405D57		MOU EDI, DWORD PTR SS:[EBP-20] MOU EDI, DWORD PTR DS:[<&MSUBUM60ubaSi	FOY
00405D5D 00405D5F	. FFD7 . 68 2CC04000	CALL EDI PUSH Lab-04-0.0040C02C	Assemble at 00405D4F
00405D64 00405D69 00405D6E	. 68 28C04000 . 68 24C04000 . 8D55 E0	PUSH Lab-04-0.0040C028 PUSH Lab-04-0.0040C024 LEA EDX.DWORD PTR SS:[EBP-20]	MOV EDX,40386□ ▼
00405D71 00405D72	. 52 . E8 294A0000	PUSH EDX CALL Lab-04-0.0040A7A0	
00405D77 00405D7A	. 8945 CC	MOU DWORD PTR SS:[EBP-34],EAX	Fill with NOP's Assemble Cancel
	. 8D45 C4	LEA EAX, DWORD PTR SS:[EBP-3C]	IP 1

Figura 36 – Imagem que mostra a janela da opção para alterar o valor das strings

```
BA B0414000
8D4D E0
8B3D 10114000
FFD7
                                                                 MOU EDX, Lab-04-0.004041B0
LEA ECX, DWORD PTR SS: [EBP-20]
MOU EDI, DWORD PTR DS: [<&MSUBUM60.
CALL EDI
PUSH Lab-04-0.0040C02C
PUSH Lab-04-0.0040C028
PUSH Lab-04-0.0040C024
LEA EDX, DWORD PTR SS: [EBP-20]
PUSH EDX
                                                                                                                                                                         UNICODE "nSfO/SjWnF20nkYFnSTz: Registers
                                                                                                                                                                                                                                                           EAX 0000
FCX 7C91
                                                                                                                                                                         MSUBUM60.__vbaStrCopy
00405D5D
                             68 2CC04000
68 28C04000
68 24C04000
8D55 E0
                                                                                                                                                                        Assemble at 00405D54
                                                                                                                                                                                                                                                                       X
                                                                                                                                                                          MOV EDX,4041B0
                                                                                                                                                                                                                                                                     -
00405D6E
00405D71
00405D72
00405D77
                             52
E8 294A0000
                                                 0000 CALL Lab-04-0.0040A7A0
MOU DWORD PTR SS:[EBP-34],EAX
08000 MOU DWORD PTR SS:[EBP-3C],8
LEA EAX,DWORD PTR SS:[EBP-3C]

▼ Fill with NOP's

                                                                                                                                                                                                                                     Assemble
```

Figura 37 – Imagem mostrando a alteração dos valores das strings

Próprio Autor

Nessa análise, o valor 40486C foi alterado para 4041B0 como a imagem 37 mostra. Ao realizar a alteração, é possível continuar a análise. Para prosseguir, foi utilizada a opção F8 para seguir linha a linha até a instrução MOV após a chamada CALL. Ao chegar na instrução MOV, foi visto que a *string* analisada foi descriptografada. A imagem 38 mostra a *string* antes de passar pela instrução CALL e a imagem 39 mostra a *string* após passar pela função que realiza a descriptografia.

```
BA B0414000
8D4D E0
8B3D 10114000
FFD7
                                                 MOU EDX,Lab-04-0.004041B0
LEA ECX,DWORD PTR SS:[EBP-20]
MOU EDI,DWORD PTR DS:[<&MSUBUM60._
                                                                                                                               UNICODE "nSf0/S.iWnF20nkYFnSTz:
                                                                                                                              MSUBUM60.__ubaStrCopy
<&MSUBUM60.__ubaStrCopy>
                                                 CALL EDI
PUSH Lab-04-0.0040C02C
PUSH Lab-04-0.0040C028
PUSH Lab-04-0.0040C024
00405D5D
                      68 2CC04000
68 28C04000
68 24C04000
8D55 E0
00405D5F
00405D64
00405D69
                                                  LEA EDX, DWORD PTR SS:[EBP-20]
PUSH EDX
                  . E8 294A0000
. 8945 CC
(FPII)
00405D72
                                                  MOU DWORD PTR SS:[EBP-34], EAX
Registers
       00160DA4
000000000
       0012FB58
EDX 734B6A74 MSUBUM60.
EBX 734B6A74 MSUBUM60.
ESP 0012F868
EBP 0012F878
ESI 734B0D93 MSUBUM60.
EDI 734B6A8E MSUBUM60.
                        MSUBUM60.__ubaStrMove
                         MSUBUM60.rtcVarBstrFromAnsi
                                            vbaStrCopy
EIP 00405D72 Lab-04-0.00405D72
```

Figura 38 – Imagem que mostra a *string* analisada criptografada

```
MOU EDX,Lab-04-0.004041B0
LEA ECX,DWORD PTR SS:[EBP-20]
MOU EDI,DWORD PTR DS:[<&MSUBUM60.__ubas1
                    BA B0414000
                                                                                                                 UNICODE "nSfO/SjWnF2OnkYFnSTz:
                    8D4D E0
8B3D 10114000
                                                                                                                MSUBUM60.__vbaStrCopy
<&MSUBUM60.__vbaStrCopy>
00405D57
                   FFD7
68 2CC04000
68 28C04000
68 24C04000
8D55 E0
00405D5D
00405D5F
00405D64
00405D69
00405D6E
                                           PUSH Lab-04-0.0040C028
PUSH Lab-04-0.0040C024
LEA EDX,DWORD PTR SS:[EBP-20]
                   52
E8 294A0000
8945 CC
                                            PUSH EDX
00405D71
                                           MOU DWORD PTR SS:[EBP-34],EAX
00405D77
                (FPU)
Registers
                    UNICODE "housecar.db.7172228.hostedresource.com
EDX 00150608
EBX 734B6A74
ESP 0012F878
EBP 0012FB78
                     MSUBUM60.__vbaStrMove
     734B0D93 MSUBUM60.rtcUarBstrFromAnsi
734B6A8E MSUBUM60.__ubaStrCopy
EIP 00405D77 Lab-04-0.00405D77
```

Figura 39 – Imagem que mostra a string analisada descriptografada

A imagem 40 mostra outras *strings* descriptografadas do arquivo estudado. O código tenta obter dados como o ID e a senha do usuário. O *malware* também tenta obter acesso ao *root* do computador e por isso imagina-se que o mesmo quer ter acesso privilegiado. Portanto, ao tentar ter acesso de administrador, acessar a rede e também obter informações confidencias, o código pode-se classificar como um *spyware*.

	isters (F			isters (F	PU>
		UNICODE "\GbPlugin\abn.gpc"	EAX		UNICODE "User ID"
ECX	0012FB5C			0012FB5C	
EDX	0015A040		EDX		
EBX		MSUBUM60vbaStrMove			MSUBUM60vbaStrMove
	0012F878			0012F878	
EBP	0012FB78	MOUDUMCO . II D . D . A .	EBP	0012FB78	MOUDUMCO . II D . D . A .
		MSUBUM60.rtcVarBstrFromAnsi			
EDI	734B6H8E	MSUBUM60ubaStrCopy	EDI	734B6H8E	MSVBVM60vbaStrCopy
	isters (FI			isters (FI	
EAX	00162BE4	UNICODE "\GbPlugin\bb.gpc"	EAX	00160D6C	UNICODE "Password"
ECX	0012FB5C		ECX	0012FB5C	
EDX	0015A040		EDX	0015A040	
		MSUBUM60vbaStrMove	EBX		MSUBUM60ubaStrMove
	0012F878			0012F878	
	0012FB78		EBP	0012FB78	
		MSVBVM60.rtcVarBstrFromAnsi			
EDI	734B6A8E	MSUBUM60vbaStrCopy	EDI	734B6A8E	MSUBUM60vbaStrCopy
	isters (FI		Reg	isters (F	PU>
EAX	0015EDB4	UNICODE "retorna_dados"	EAX	00160C54	UNICODE "SYSTEMROOT"
ECX	0012FB5C		ECX	0012FB5C	
EDX	0015A040		EDX		
		MSUBUM60vbaStrMove			MSVBVM60vbaStrMove
ESP	0012F878		ESP		
	0012FB78		EBP		
	734B0D93			734B0D93	
EDI	734B6A8E	MSUBUM60vbaStrCopy	EDI	734B6A8E	MSUBUM60vbaStrCopy

Figura 40 – Imagem que mostra outras *strings* analisadas

Próprio Autor

Segundo Stallings e Brown (2015), um *spyware* é um *software* que obtém informações confidenciais e envia para outro sistema que monitora o teclado, dados da tela e tráfego da rede, ou faz a digitalização de arquivos de um sistema para informações sensíveis.

5.4 Arquivo Executável criando Processos

O arquivo desse estudo é um executável e as ferramentas utilizadas foram *Process Explorer* e *Process Monitor*. Assim, para iniciar a análise, foram abertos os programas e inicializado o *Process Monitor*. Para inicializar essa ferramenta é só ir em *file* e deixar a opção "capturar eventos" marcada. Após a inicialização da ferramenta, pode-se executar o código malicioso. A imagem 41 mostra o arquivo aberto no *Process Monitor*.

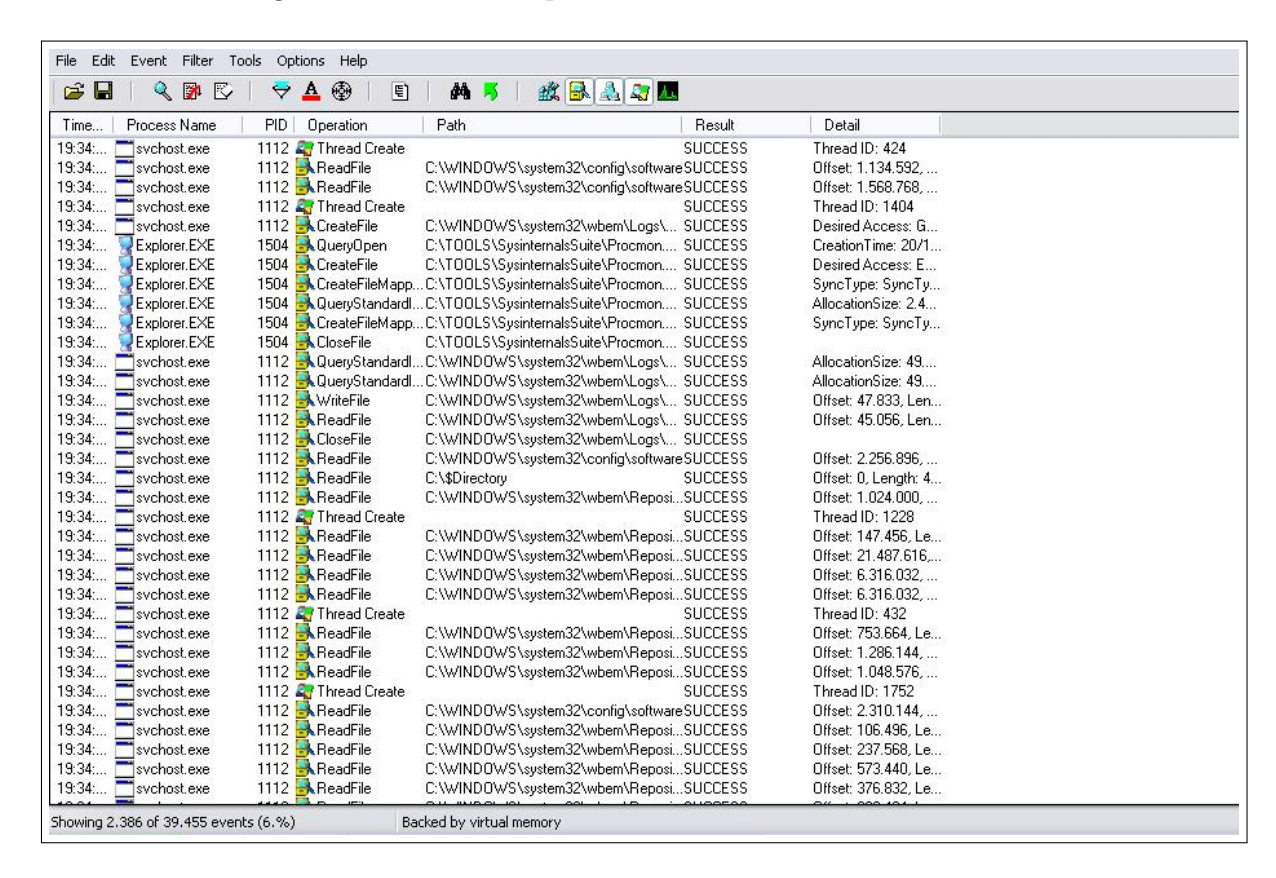


Figura 41 – Tela do *ProcMon* com o arquivo analisado aberto

Próprio Autor

Depois de capturar os eventos, é importante analisar cada um deles. Assim, como teve muitos eventos capturados, foi filtrado para mostrar somente aqueles eventos relacionados ao código analisado. Então, foi filtrado para parecer aqueles eventos relacionados ao nome do arquivo.

Durante a análise, foi observado que o arquivo faz várias chamadas as APIs do sistema. No entanto, percebeu-se que, após certo ponto, o mesmo cria um processo na pasta System32 do Windows com o nome de svchost.exe. Após a criação do processo, o mesmo fecha um arquivo, fecha uma thread e fecha o processo inicial, porém não finaliza o processo criado anteriormente. A imagem 42 mostra essas ações.

21:07: Lab-05-01 exe 21:07: Lab-05-01 exe 21:07: Lab-05-01 exe 21:07: Lab-05-01 exe 21:07: Lab-05-01 exe 21:07: Lab-05-01 exe 21:07: Lab-05-01 exe	1424 Process Create C:\WINDOWS\system32\svchost.exe 1424 CloseFile C:\WINDOWS\system32\svchost.exe	SUCCESS SyncType: SyncTypeCreateSection, PageProtection: PAGE_READO SUCCESS AllocationSize: 16.384, EndOlfFile: 14.336, NumberOfLinks: 1, DeleteP SUCCESS SyncType: SyncTy
21:07: Lab-05-01.exe 21:07: Lab-05-01.exe 21:07: Lab-05-01.exe	1424 Ar Process Exit 1424 CloseFile C:\	SUCCESS Thread ID: 836, User Time: 0.0000000, Kernel Time: 0.0000000 SUCCESS Exit Status: 0, User Time: 0.0100144 seconds, Kernel Time: 0.000000 SUCCESS

Figura 42 – Tela do *Process Monitor* que mostra o arquivo criando um processo

É importante destacar que *svchost* é um espaço, o qual o sistema utiliza para executar suas aplicações. Esse processo possui um "pai"e quando chamado, o mesmo possui parâmetros. No entanto, ao verificar o *Process Explorer*, o processo *svchost.exe*, que está sendo executado, não possui um "pai", não tem parâmetros e possui o mesmo *PID* do processo visto no *Process Monitor*. Assim, como o *PID* é igual, pode-se afirmar que é o mesmo processo. As figuras 42 e 43 mostram o processo e o *PID*.

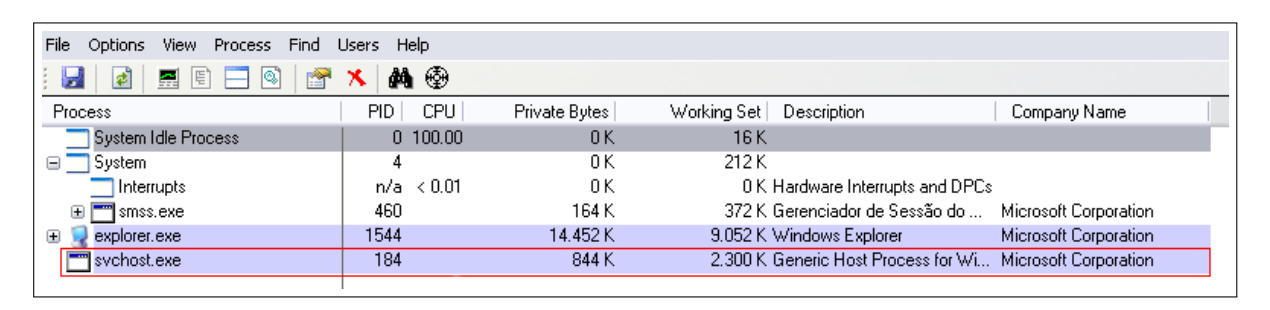


Figura 43 – Tela do *Process Explorer* com o processo *svchost* operando na máquina

Próprio Autor

Na ferramenta *Process Explorer*, ao ir em propriedades, para obter algumas informações sobre o processo, foi observado que o arquivo mostrava que era do sistema. Para confirmar essa informação, foi pedido uma verificação. Após esse pedido, foi visto que o mesmo é um arquivo original do *Windows*. As imagens 44 e 45 mostram essas informações.

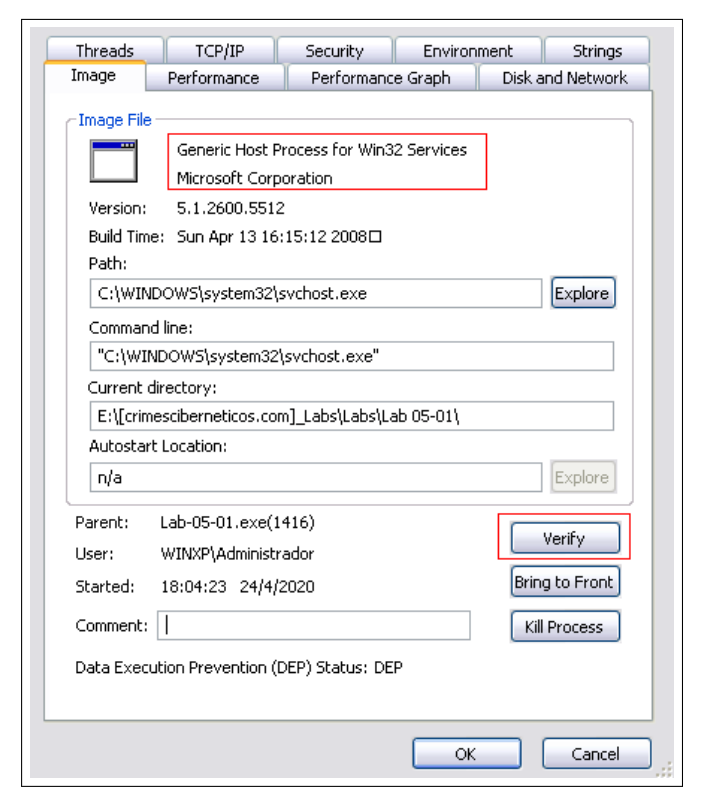


Figura 44 – Tela do *Process Explorer* com a informação que o arquivo era do sistema

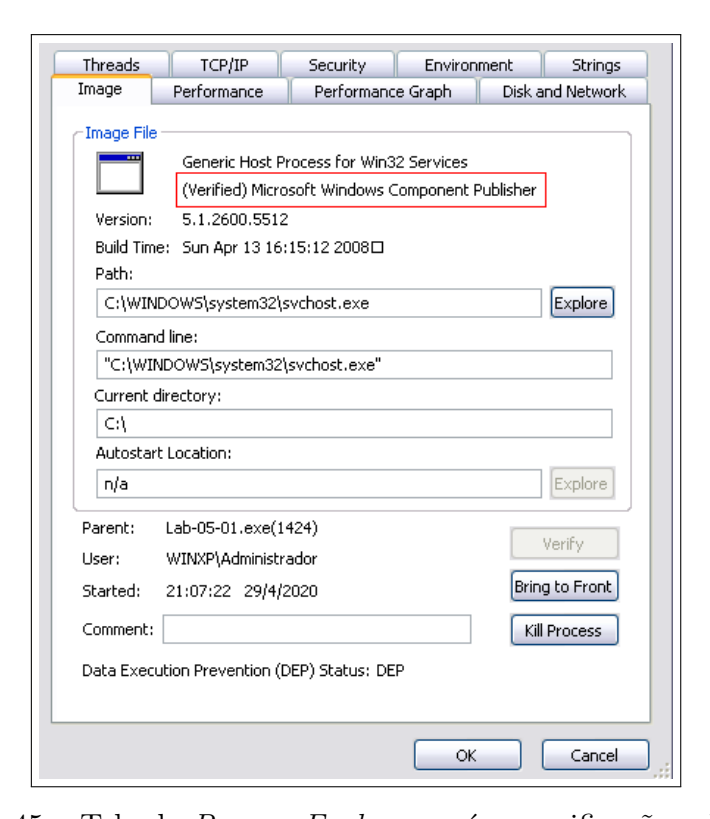


Figura 45 – Tela do *Process Explorer* após a verificação solicitada

É interessante lembrar que quando ocorre uma verificação de um arquivo, é analisado o disco rígido, porém não é examinado a memória. Assim, para ter certeza que o processo é do sistema, foi aberto outra tela de propriedades e comparado as informações contidas no disco rígido e as informações da memória. A figura 46 mostra as informações do disco rígido, e 47 as informações contidas na memória.

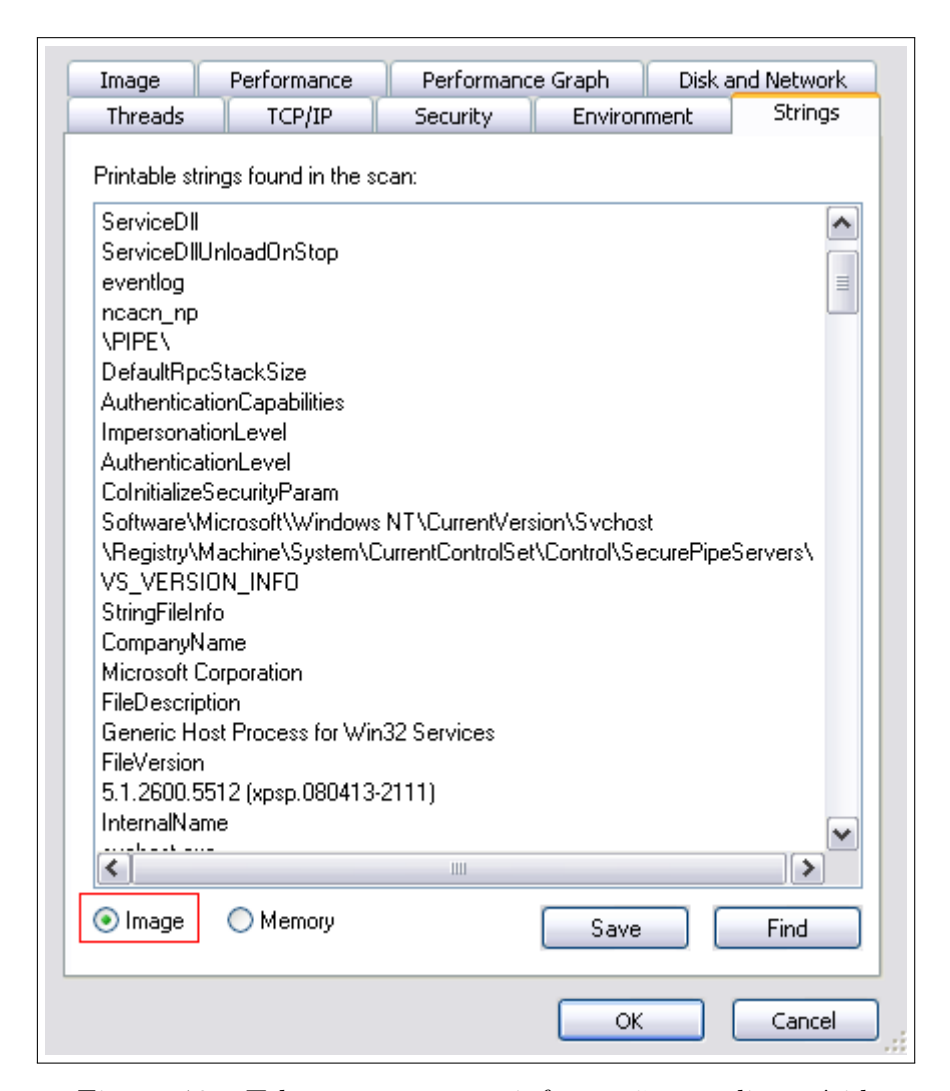


Figura 46 – Tela que mostra as informações no disco rígido

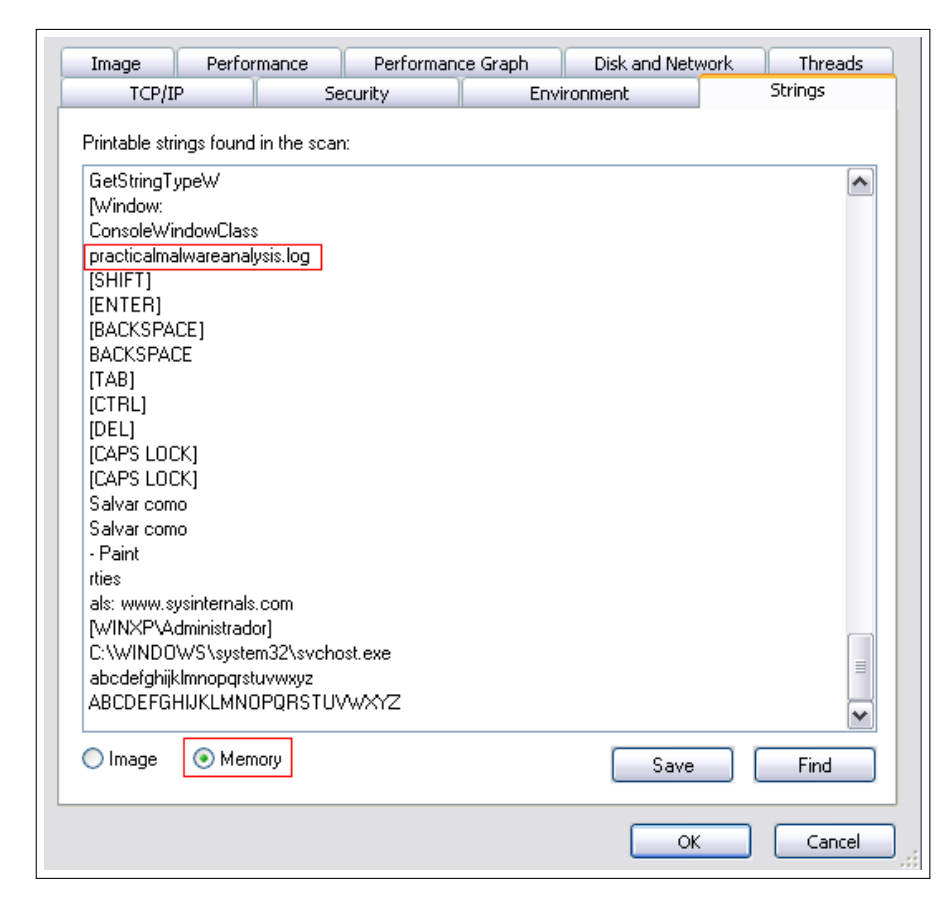


Figura 47 – Tela que mostra as informações da memória

Como visto nas imagens 46 e 47, o conteúdo da memória é diferente do que se tem no disco, ou seja, as informações na memória foge do padrão do disco. Também é importante destacar que há um arquivo com extensão log. Esse tipo de arquivo, segundo Barros (2018), registra eventos relacionados ao sistema operacional, aplicativos que estão em execução e dispositivos de rede. Assim, depois dessa comparação, também foi visto que o processo ainda estava ativo. Portanto, para saber o que o mesmo estava realizando na máquina, foi selecionado, no *Process Monitor*, os eventos relacionados ao PID do processo.

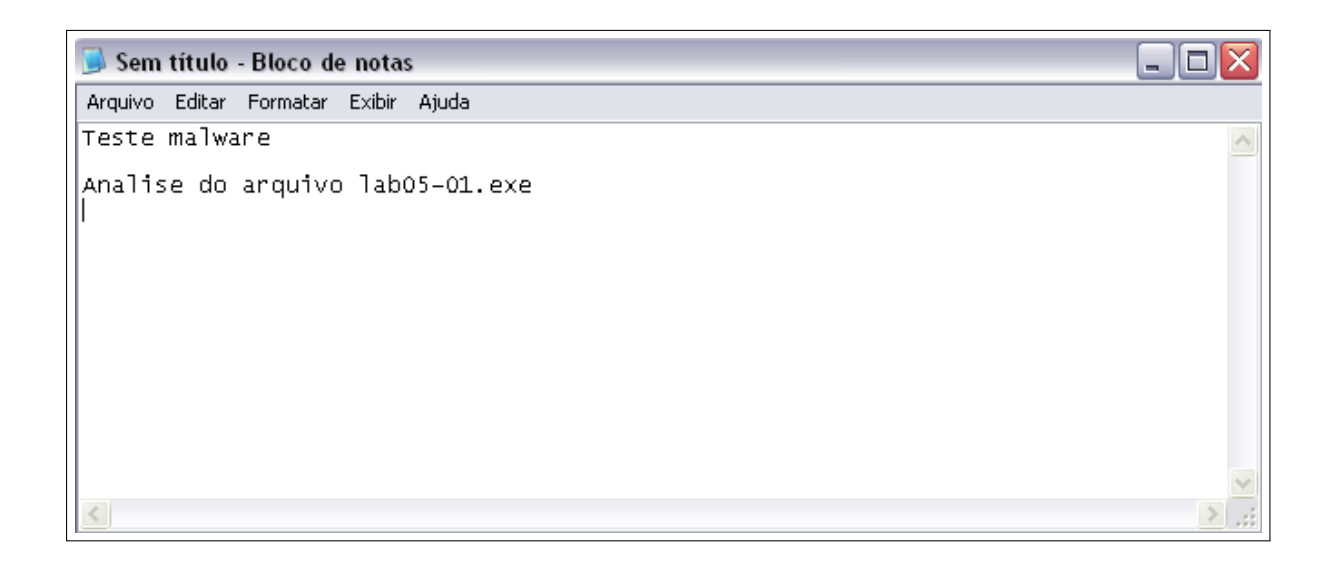


Figura 48 – Tela do bloco de notas realizando o teste

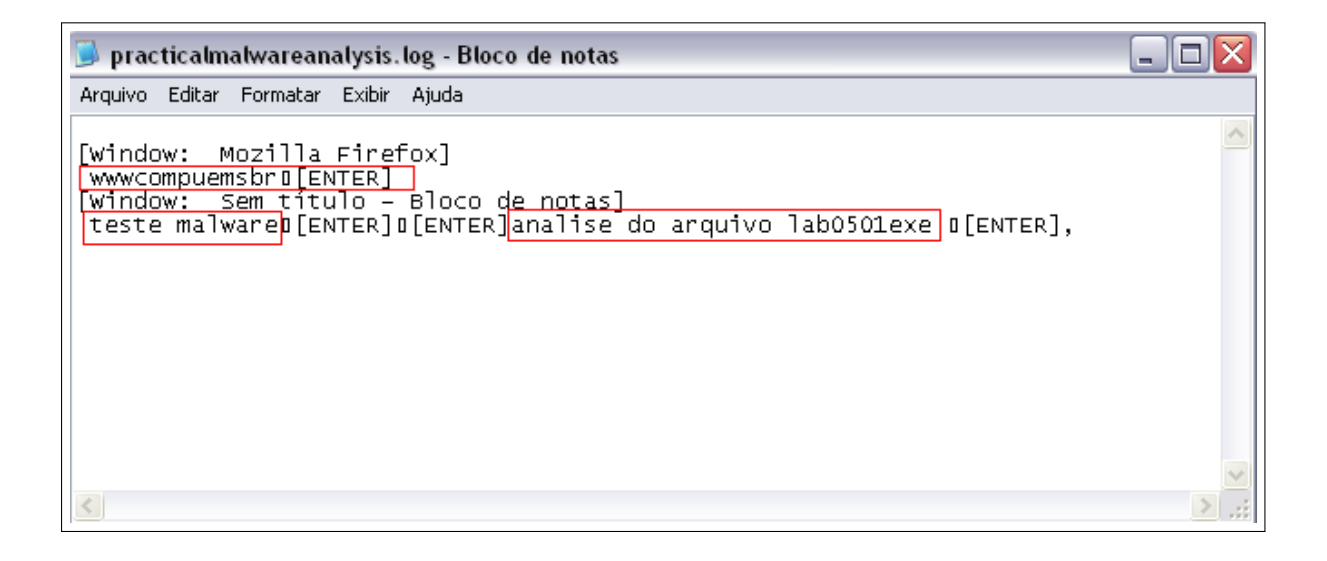


Figura 49 – Tela do bloco de notas com o arquivo log aberto

Próprio Autor

O código analisado tem comportamento parecido com o malware Keylogger, ou seja, o mesmo fica disfarçado de arquivo de sistema para capturar tudo que o usuário da máquina atingida digita. Para realizar um teste, foi aberto o navegador e digitado o site www.comp.uems.br e depois foi aberto um arquivo no bloco de notas. Após isso, foi visto no arquivo praticamalwareanalysis.log, as atividades realizadas. As imagens 48 e 49 apresentam essas ações.

5.5 Malware Acessando Site Externo pela Rede

Esse estudo envolve um arquivo executável, o qual foi analisado pela ferramenta FakeNet. Assim, antes de começar a análise, é importante verificar se na máquina virtual a configuração de rede está com a opção host-only. Essa opção faz com que a máquina virtual não acesse uma rede externa a ela. Após essa verificação, inicializar o FakeNet e depois executar o malware.

A imagem 50 mostra as atividades que o código realiza. O malware faz uma pesquisa ao DNS, ou seja, o mesmo tenta encontrar o dominio dl.dropbox.com. Após isso, o código faz uma requisição na porta 80 e tenta trazer para a máquina os métodos metodoS.swf, metodoD.swf, metodoL.swf e metodoAux.swf. Se a página procurada estivesse ativa, então seria possível realizar o download desses arquivos.

```
Prompt de comando - fakenet.exe
                                                                                                                                                               _ | & | × |
[Sent http response to client.]
[DNS Query Received.1
   Domain name: dl.dropbox.com
[DNS Response sent.]
[Received new connection on port: 80.]
[New request on port 80.]
[GET /u/26681756/metodoS.swf HTTP/1.1
[User-Agent: HTTP Client
[Host: dl.dropbox.com
[Cache-Control: no-cache]
[Sent http response to client.]
 Received new connection on port: 80.1
New request on port 80.1
GET /u/26681756/metodoD.swf HTTP/1.1
    User-Agent: HTTP Client
Host: dl.dropbox.com
Cache-Control: no-cache
[Sent http response to client.]
[Received new connection on port: 80.]
[New request on port 80.]
[GET /u/39262625/metodoL.swf HTTP/1.1
    Üser-Agent: HTTP Client
Host: dl.dropbox.com
Cache-Control: no-cache
[Sent http response to client.]
[Received new connection on port: 80.]
[New request on port 80.]
[GET /u/26681756/metodoAux.swf HTTP/1.1
[User-Agent: HTTP Client
Host: dl.dropbox.com
Cache-Control: no-cache
 [Sent http response to client.]
```

Figura 50 – Tela do FakeNet com as atividades do malware

Assim, como o código tenta trazer arquivos para a máquina atingida, o programa pode se encaixar na categoria *Downloader*. De acordo com Stallings e Brown (2015), um *Downloader* é um código, o qual instala outros itens em uma máquina que está sob ataque. Geralmente está incluído no código do *malware* inserido pela primeira vez em um sistema comprometido para então importar um pacote maior de *malware*.

5.6 Arquivo disfarçado de executável

Essa seção envolve o estudo de um arquivo executável, o qual passou pelas seguintes ferramentas: *PEiD*, *Exeinfo PE*, *Delphi Decompiler* e *Delphi 7*. Para iniciar análise, a primeira ferramenta utilizada foi *PEiD* para obter informações sobre o formato do arquivo e qual compilador foi usado pelo código. A imagem 51 abaixo mostra essas informações.

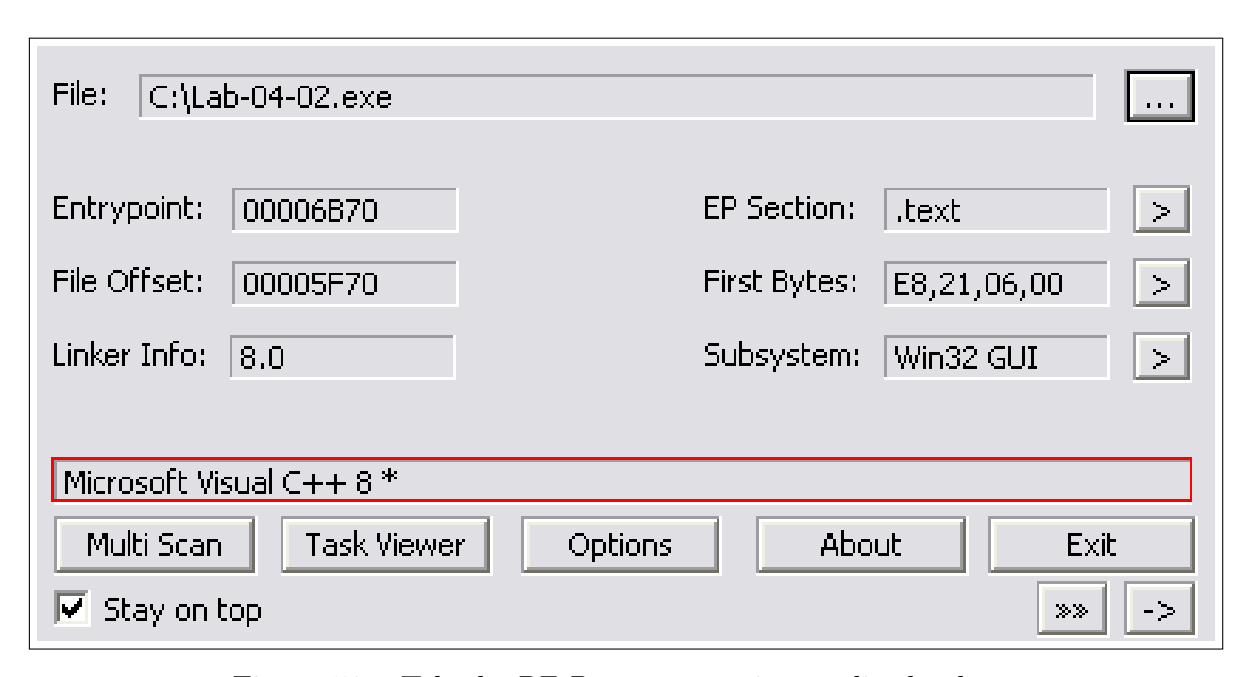


Figura 51 – Tela do *PEiD* com o arquivo analisado aberto

Próprio Autor

Após utilizar o *PEiD*, foi usado o *Exeinfo PE*. Portanto, quando aberto pela ferramenta, a mesma sugere que o arquivo seja renomeado para extensão .*CAB*. A imagem 52 mostra o arquivo aberto pelo programa e essa informação.

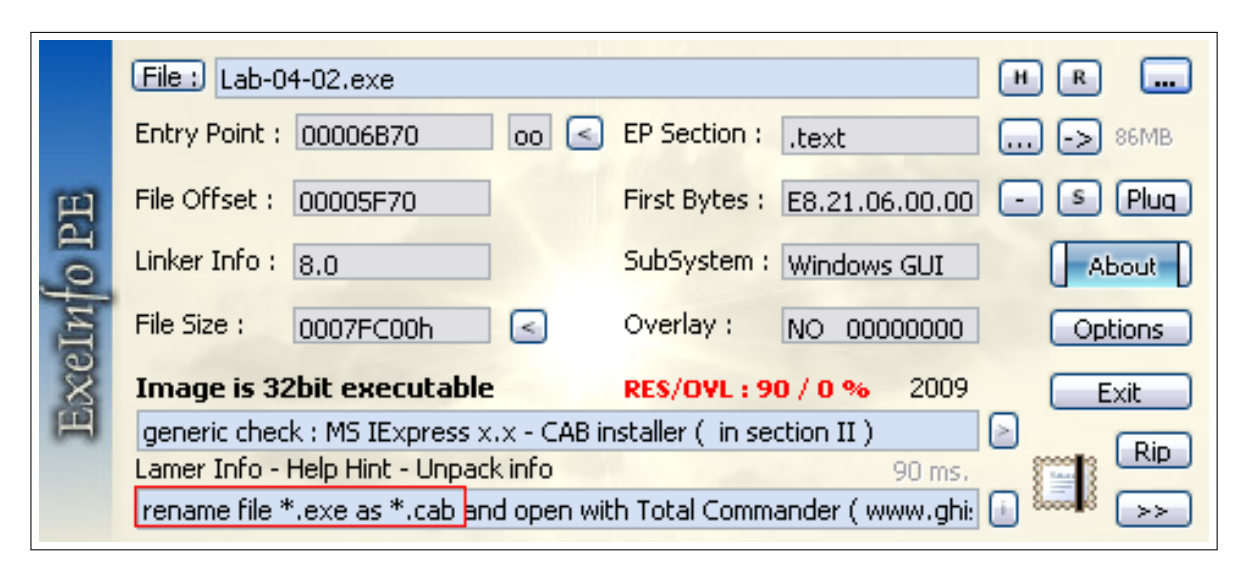


Figura 52 – Tela do Exeinfo PE com o arquivo analisado aberto

Portanto, o arquivo foi renomeado para a extensão indicada pela ferramenta. É importante destacar que arquivos com extensão .CAB apresentam dados compactados. Assim, após renomear o arquivo analisado, o mesmo apresentou ser um arquivo compactado. Depois de descompactá-lo, o mesmo possuía mais dois arquivos com extensão .EXE, os quais também passaram pela ferramenta PEiD como mostram as imagens 53 e 54 abaixo.

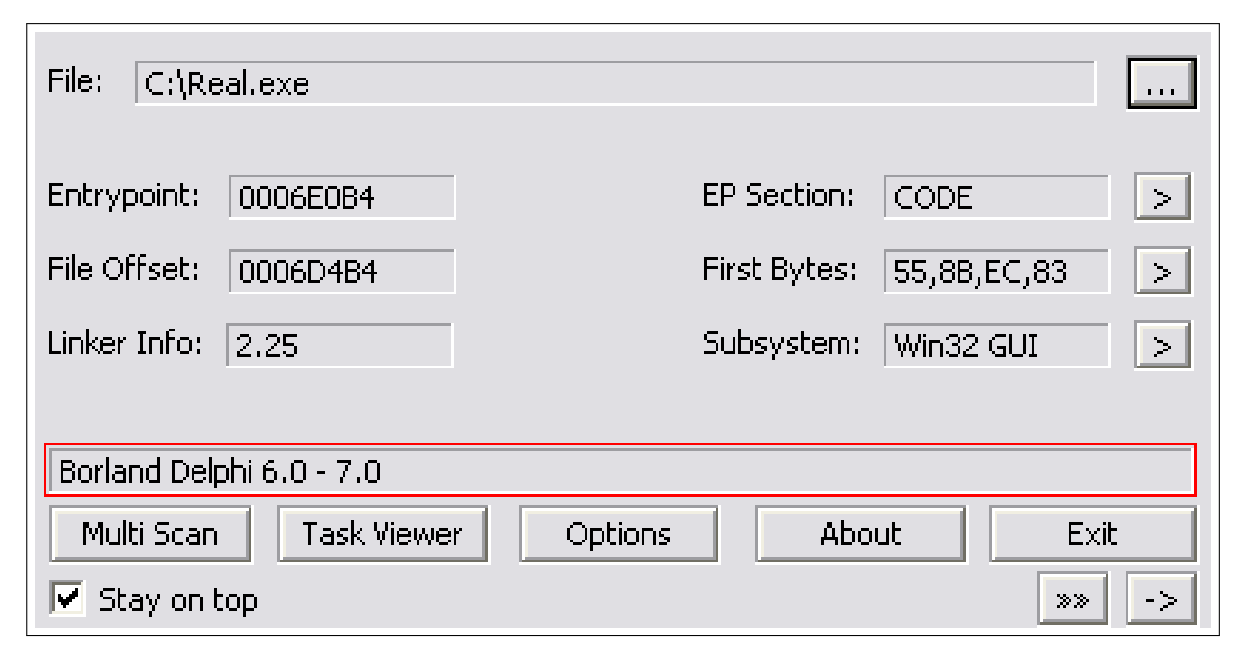


Figura 53 – Tela do *Peid* com o arquivo analisado aberto

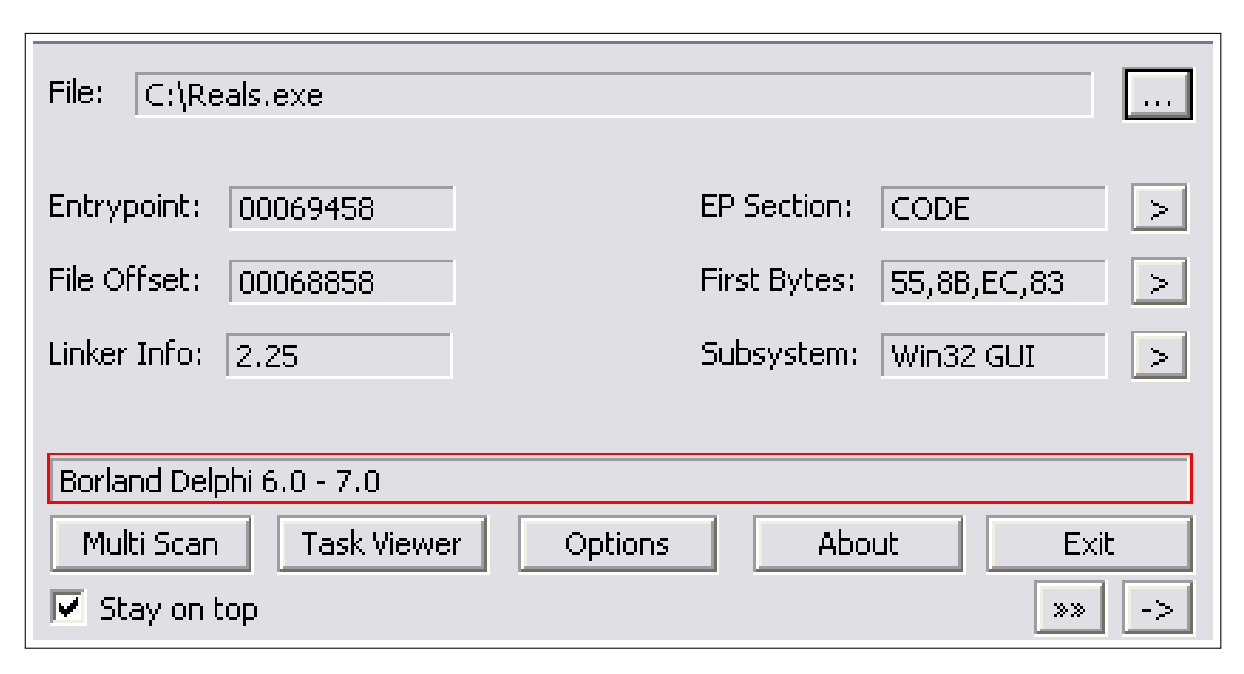


Figura 54 – Tela do *Peid* com o arquivo analisado aberto

É interessante destacar que o compilador que as imagens 53 e 54 mostram é o Borland Delphi. No entanto, foi visto anteriormente que o compilador utilizado era Microsoft $Visual\ C++$. Assim, imagina-se que o desenvolvedor do programa malicioso queria evitar uma possível análise tentando enganar os analisadores.

Como os códigos foram desenvolvidos na linguagem *Delphi*, é possível abrir esses arquivos. Portanto, para realizar essas atividades foram utilizadas as ferramentas *Delphi Decompiler* e *Delphi* 7.

```
* Possible String Reference to: |'Será necessario a confirmação de al
                               guns dados!
                                       ecx, $001BB634
001BB4B9
          B934B61B00
                               mov
* Possible String Reference to: 'Informe sua agência e conta.'
001BB0F1
         B948B11B00
                                       ecx, $001BB148
                               mov
* Possible String Reference to: 'AG.....'
001BCB8C
         BA94D91B00
                                       edx, $001BD994
                                mov
* Possible String Reference to: 'CC......'
001BCC1D
        68DCD91B00
                                push
                                       $001BD9DC
001BCC22 8D5584
                                lea-
                                       edx, [ebp-$7C]
* Possible String Reference to: | CPF......
001BCF2B BAB4DA1B00
                               mov
                                       edx, $001BDAB4
* Possible String Reference to: | 'RG......'
001BCF6F
         BADCDA1B00
                                       edx, $001BDADC
                               mov
                              'Estado Civil.....
* Possible String Reference to:
001BD03B
          BA54DB1B00
                               mov
                                       edx, $001BDB54
* Possible String Reference to: 'Senha/3....:'
001BCE71
         BA24DA1B00
                               mov
                                       edx, $001BDA24
```

Figura 55 – Tela do *Delphi 7* com o primeiro arquivo analisado aberto

```
* Possible String Reference to: 'praque=justus.spamer.brasil@gmail.com,eduardopest@gmail.com'
                                         edx, $00468FBC
00468EC3
         BABC8F4600
                                 mov
00468EC8
          8B45F8
                                 mov
                                         eax, [ebp-$08]
00468ECB 8B08
                                 mov
                                         ecx, [eax]
* Possible String Reference to: 'C:\indentificando.txt'
00468F64 B854904600
                                         eax, $00469054
                                 mov
* Possible String Reference to: 'http://esec.ru/upload/noro.php'
00468F27 BA2C904600
                                 mov
                                         edx, $0046902C
```

Figura 56 – Tela do *Delphi 7* com o segundo arquivo analisado aberto

Próprio Autor

O arquivo *real.exe* apresentava *strings* referentes ao RG, CPF, estado civil e senha, além de outras, como mostra a imagem 55. Já o segundo arquivo, *reals.exe*, possuia

strings indicando um endereço de e-mail, uma url e um arquivo texto, como a imagem 56 apresenta. Também foi visto na ferramenta Delphi Decompiler um texto do arquivo reals.exe. A imagem 57 mostra o texto identificado.

```
Lines.Strings = [
   "Nas pr#243'ximas semanas o Banco Real estar'#225' fazendo uma atualiza'#231#227'o' +
  'dos dados cadastraisdos fornecedores e, para isso, contratou a '
   "Mercado Eletr'#244'nico, uma empresa especializadaneste tipo de servi" +
   #231'o.
  'A Mercado Eletr'#244'nico est'#225' entrando em contato com nossos '
   'fornecedores e solicitando a atualiza'#231#227'o de dados cadastrais com' +
   'nome da empresa, raz'#227'o social, endere'#231'o, etc. Esta abordagem est' +
  'sendo feita por esse modulo de seguran'#231'a Real Santander. '
  "IMPORTANTE: Em nenhum momento dados banc'#225'rios ser'#227'o solicitados "
  'via telefone. '
   'Pedimos a ajuda e colabora'#231#227'o de todos e, para esclarecer maiore' +
   'd'#250'vidas, disponibilizamos abaixo o telefone de contato do Banco '+
   'Real.'
  '4004-1199 (capitais/regi'#245'es metropolitanas).'
  '0800 286 1199 (demais localidades).')
 ParentFont = False
 TabOrder = 2
end
```

Figura 57 – Tela do Delphi Decompiler com o segundo arquivo analisado aberto

Próprio Autor

Depois de identificar as *strings*, foi visto também que o código analisado apresentava uma estrutura de um formulário. Assim, depois de realizar a análise, os arquivos foram executados para ver o que os mesmos realizavam na máquina. As imagens 58, 59 e 60 representam o formulário que o código possui. É interessante destacar que as *strings* observadas na imagem 57 aparecem na tela inicial que o *malware* criou. A imagem 58 apresenta as *strings* utilizadas no formulário.

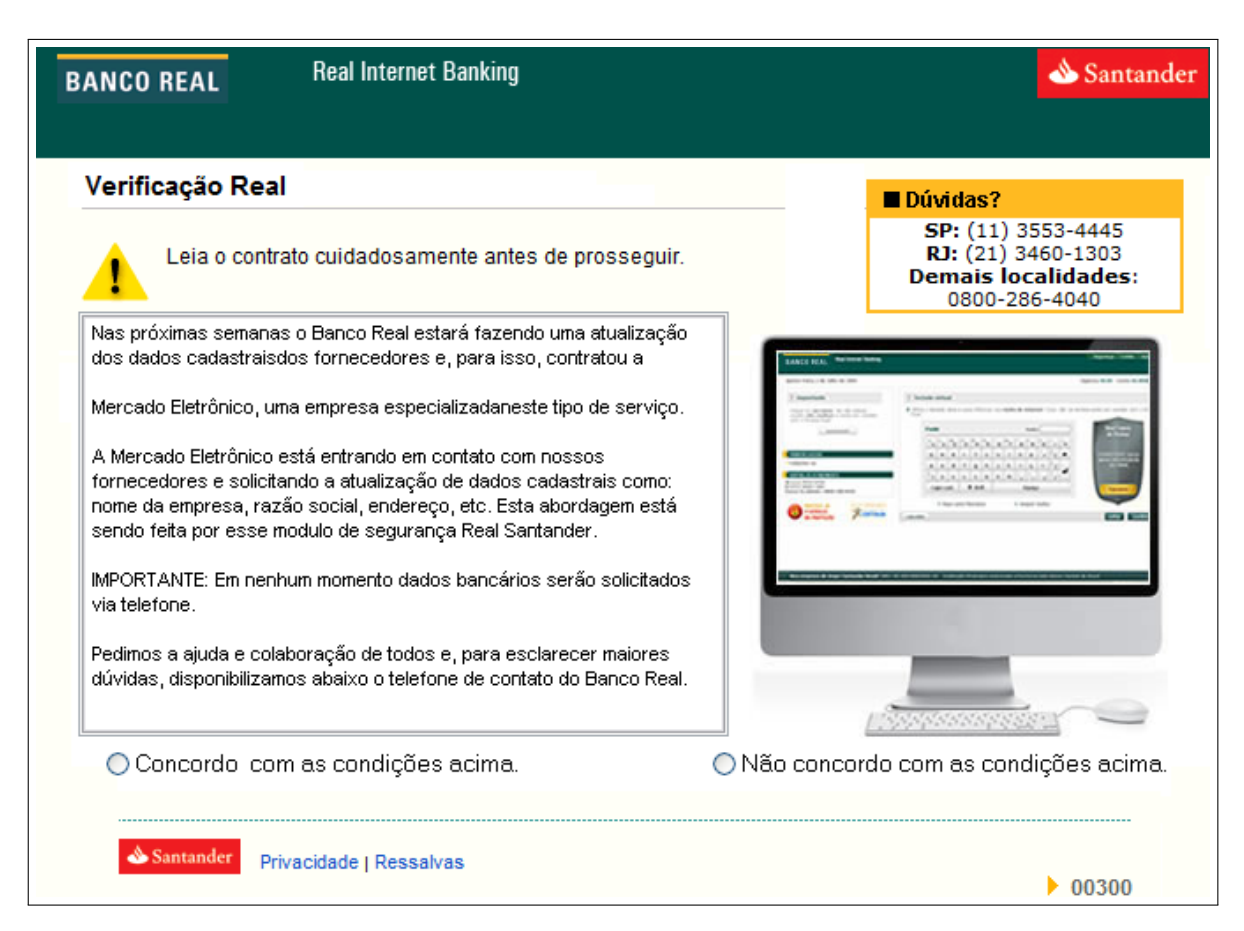


Figura 58 – Tela inicial do formulário feito pelo malware

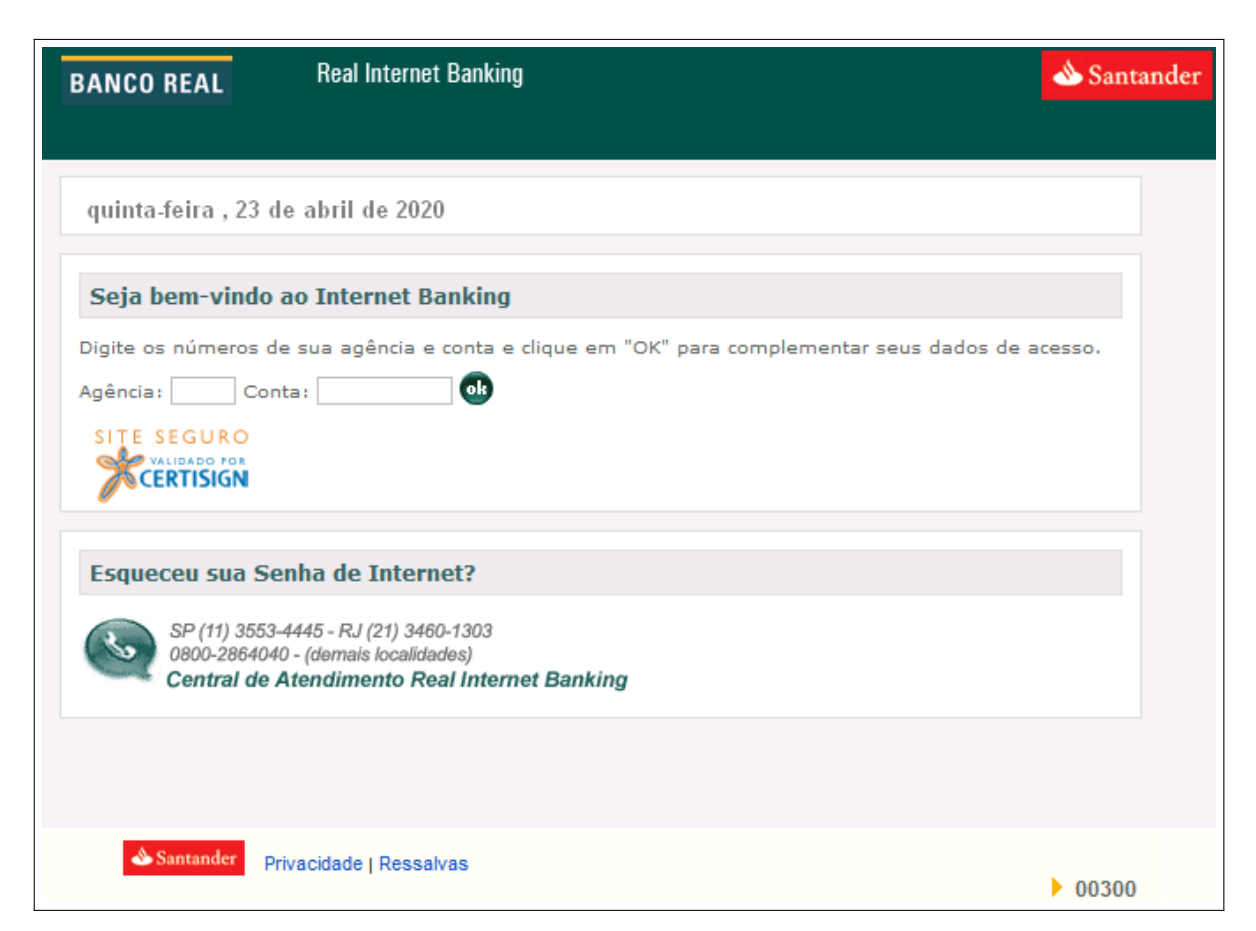


Figura 59 – Segunda tela do formulário feito pelo malware

BANC	O REAL Real Internet Banking	& Santander
	1º Passo - Preencha seus dados	
	CPF: Naturalidade: Nome do Pai: Escolaridade: Selecione uma opçã Curso: Profissão: RG: * Estado civil: * Nome do cônjuge: Curso: Empressa Atual:	
	Empresa no ato da abertura: Tempo de Conta: 2º Passo - (Emissão e Confirmação de Autenticidade)	
	Escolha uma opção: Selecione um cartão. Vencimento: Mês V / Ano V Cartão de Credito: (16 Digitos) Código de segurança: (3 Digitos)	
	Senha Disk Real: (4 Digitos) (Obs: * Não O	brigatorio)

Figura 60 – Terceira tela do formulário feito pelo malware

Para realizar um teste e entender o que o malware faz na máquina foi preenchido o formulário criado pelo mesmo. As imagens 61 e 62 mostram essas informações. Após realizar esse procedimento foi aberto o arquivo texto que o código malicioso cria. Ao abrir o arquivo foi visto que as informações digitadas no formulário apareciam nesse arquivo. Portanto, acredita-se que o malware copiava as informações nesse arquivo texto para enviar nos endereços de e-mails vistos. A imagem 63 indica o arquivo texto criado pelo código.

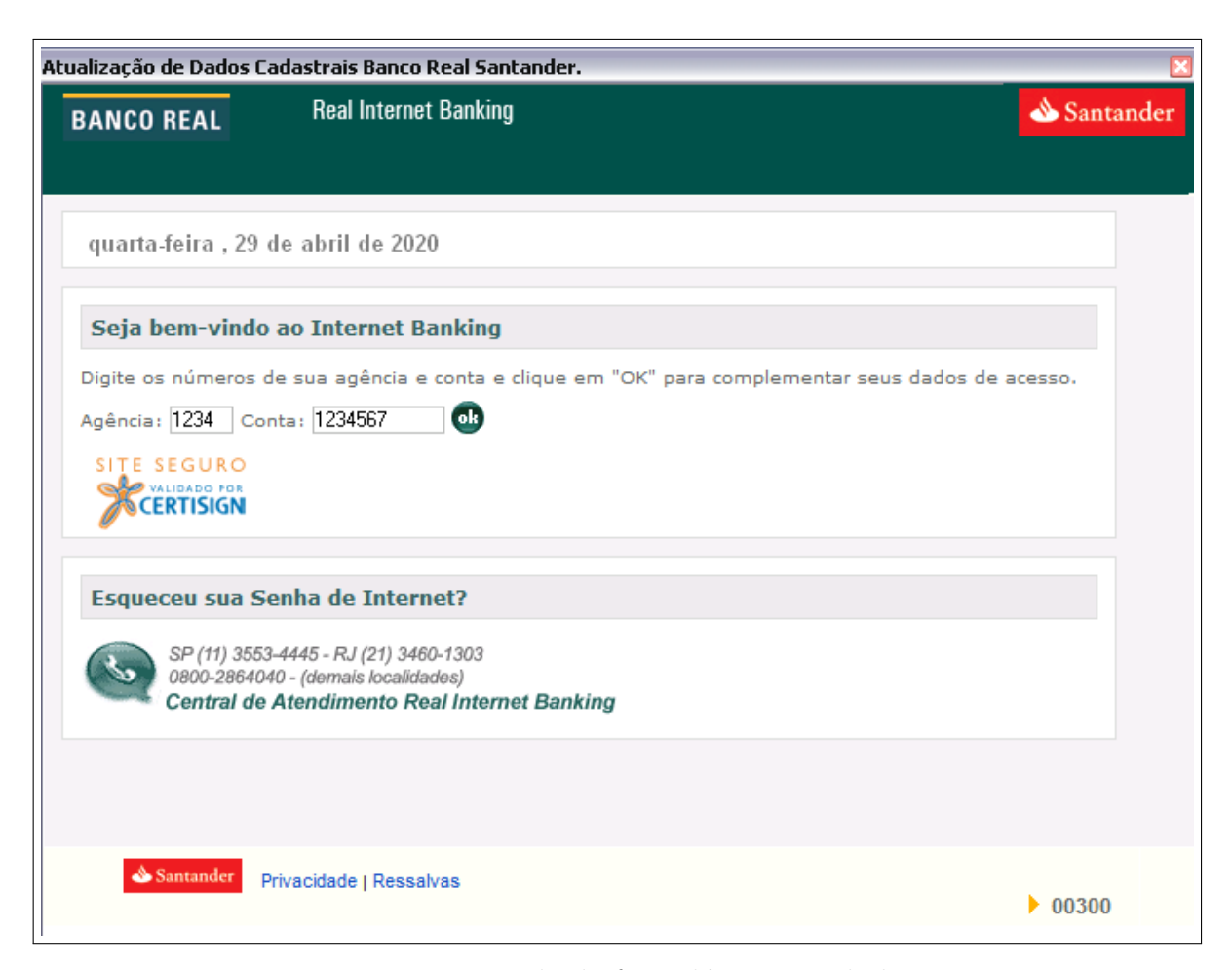


Figura 61 – Tela do formulário preenchida

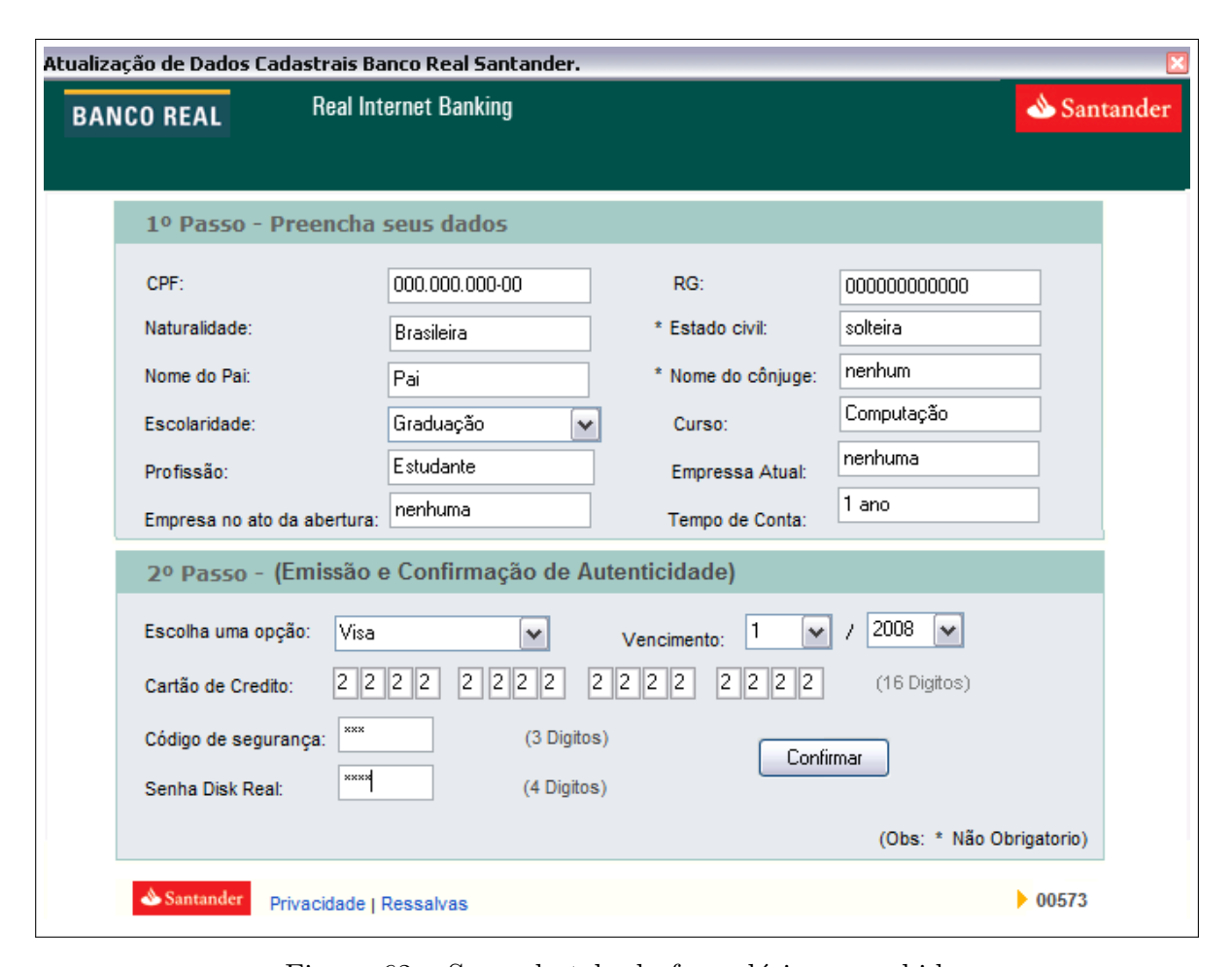


Figura 62 – Segunda tela do formulário preenchida

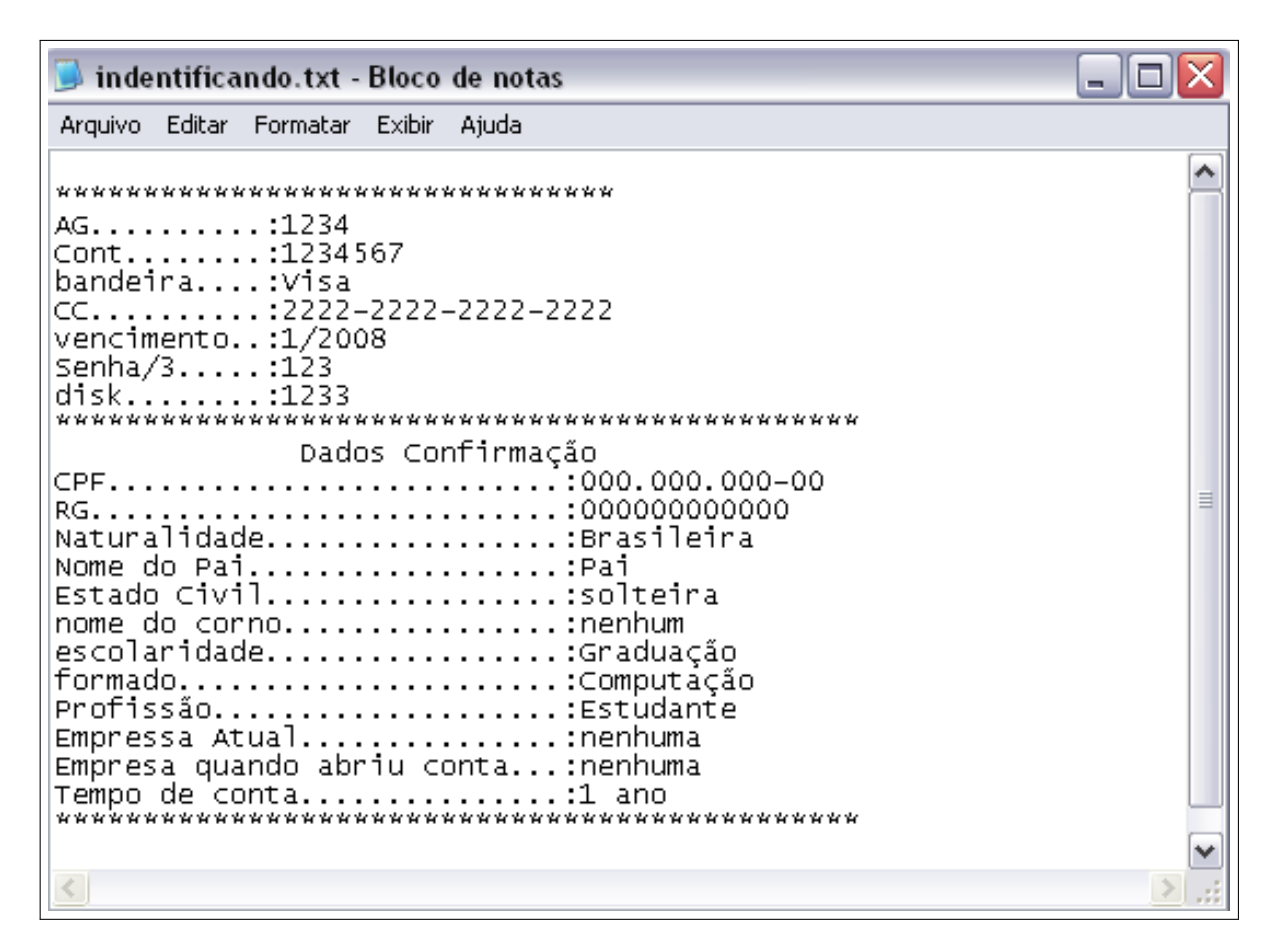


Figura 63 – Tela do arquivo texto que o código malicioso cria

Portanto, o código analisado tem comportamento do malware trojan horse, uma vez que o arquivo aparenta ter uma utilidade benéfica. De acordo com Stallings e Brown (2015), um trojan horse, é um programa que aparenta ter funcionalidade útil, porém também tem escondida uma potencial função maliciosa que consegue evitar os mecanismos de segurança da maquina atingida.

5.7 Malware Envelopado

Para o estudo desse arquivo foram utilizadas as técnicas estática e dinâmica. Essa seção envolve a análise de um arquivo com extensão .COM e as ferramentas utilizadas foram PEiD, FakeNet, RegShot, IDA Pro, Process Monitor, Exeinfo PE. Para obter informações iniciais do código, as primeiras ferramentas utilizadas foram PEiD e Exeinfo PE. Assim foi visto que o compilador utilizado foi Borland Delphi e o arquivo não estava empacotado como as imagens 64 e 65 mostram.

File: C:\La	b-05-02.com	
Entrypoint:	0001B61C	EP Section: CODE >
File Offset:	0001AA1C	First Bytes: 55,88,EC,83 >
Linker Info:	2.25	Subsystem: Win32 GUI >
Borland Del	phi 6.0 - 7.0 Task Viewer Option	s About Exit
Stay on I		S ADOUT EXIT

Figura 64 – Tela do *PEiD* com o arquivo analisado aberto

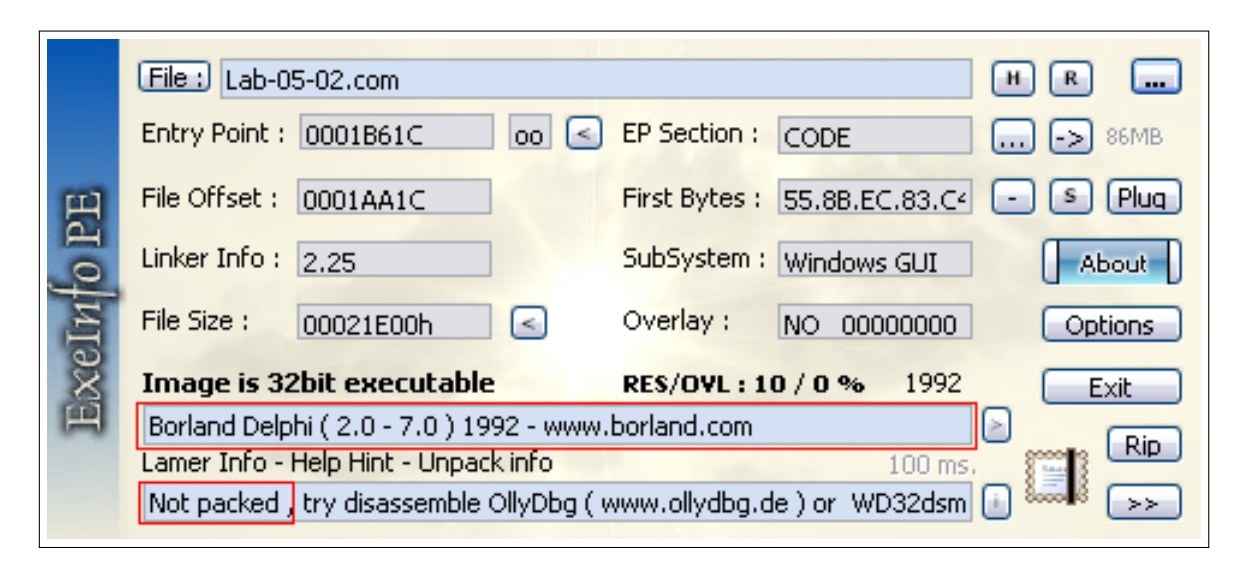


Figura 65 – Tela do Exeinfo PE com o arquivo analisado aberto

Próprio Autor

Após passar pelas ferramentas *PEiD* e *Exeinfo PE*, foi inicializado o *FakeNet* e aberto a ferramenta *RegShot*. Para realizar a comparação do registro, é preciso que a primeira "foto" seja feita antes que o *malware* seja executado. Assim, é só apertar o botão da primeira foto, como na imagem 15(seção 4.12) apresenta. Após isso, é possível que o código seja executado. Depois de permitir que o *malware* infecte a máquina, a segunda "foto" pode ser tirada. Ao tirar as duas "fotos", a ferramenta apresenta um botão que tem

uma opção de comparação das duas "fotos" para identificar se o código realizou alguma alteração no registro.

Ao selecionar a opção de comparação, um arquivo texto é aberto como a imagem 66 apresenta. O arquivo texto indica que o registro apresentou sete alterações. É importante destacar um arquivo adicionado no registro. Como a imagem 66 mostra, um arquivo faz referência ao malware na pasta de cache, ou seja, está criando ou ativando alguma chave no registro para se registrar no registro da máquina. Malwares que realizam acesso no registro geralmente tentam se inicializar junto com o máquina quando a mesma é ligada.

Figura 66 – Tela do arquivo texto gerado pelo RegShot com as mudanças no registro

Próprio Autor

Outra informação que havia no arquivo, quando foi analisado pela primeira vez, era sobre uma página *index.php* que estaria em uma pasta *infect1*, no entanto, essa informação não pode ser encontrada, uma vez que essa página foi retirada do servidor.

Depois de analisar as mudanças no registro, foi visto no FakeNet as ações do malware. O mesmo tentava trazer para a máquina um arquivo chamado syscda.html e tentava acessar o endereço IP 200.98.135.219. Outra ação realizada pelo código era trazer também uma página que estaria em uma pasta com o nome infect1 do endereço IP visto anteriormente. A imagem 67 mostra essas atividades.

```
[Received new connection on port: 80.]

[New request on port 80.]

[GET /sistema/modules//syscda.html HTTP/1.1

Host: 200.98.135.219

[Sent http response to client.]

[Redirecting a socket destined for 200.98.135.219 to localhost.]

[Received new connection on port: 80.]

[New request on port 80.]

[Set /sistema/modules//infect1/index.php?chave=xchave&url=x20=|=x20WINXP</b>//font>/fontx20color=ciano><br/>/b>x20=|=x20CdAx20[<fontx20color=grayx20size=2>0kb</font>/lx20-|-Portuguûsx20(Brasil)x20=|U3.0|=x205.1</b>//font>/HTTP/1.1

Host: 200.98.135.219
```

Figura 67 – Tela do FakeNet com o arquivo analisado aberto

Após identificar algumas ações do malware no FakeNet, a próxima ferramenta utilizada foi Process Monitor. Antes de usar esse programa a máquina virtual foi restaurada. Assim, o Process Monitor foi inicializado e depois o código malicioso foi executado. Para facilitar a análise, foi filtrado na ferramenta para aparecer os eventos relacionados ao nome do arquivo analisado e desmarcado a opção para aparecer os eventos do registro.

O código realiza acesso na parte administrativa e entra em configurações do administrador na máquina. Essa atividade indica que o *malware* quer ter acesso como um administrador, pois ele não entra como usuário comum, mas sim como um administrador. O código também procura instalações antigas da máquina, isto é, tenta verificar se a máquina já foi infectada por ele. A imagem 68 mostra o *malware* acessando a parte administrativa da máquina.

Г		-
-	17:11: 🔤 Lab-05-02.com	1964 ➡ QueryOpen C:\Arquivos de programas\GbPlugin
	17:11: 🔤 Lab-05-02.com	1964 🔜 QueryStandardInformationFileC:\Documents and Settings\Administrador\Configurações locais\Temporary Internet Files\Content.IE5\index.dat
-	17:11: Lab-05-02.com	1964 🛃 QueryStandardInformationFileC:\Documents and Settings\Administrador\Configurações locais\Temporary Internet Files\Content.IE5\index.dat
	17:11: 🔤 Lab-05-02.com	1964 <mark>- Nuery0pen C:\wsock32.dll</mark>
	17:11: 🔤 Lab-05-02.com	1964 QueryOpen C:\wsock32.dll

Figura 68 – Malware acessando as configurações do administrador

Próprio Autor

É importante dastacar que o *malware* procura o programa *GBplugin*, como mostra 68. Esse programa é utilizado para acessar páginas de bancos virtuais, uma vez que sem ele não há como realizar o acesso. O código também faz referência a biblioteca *Wininet* do *Windows*, a qual permite conexão a rede.

Depois de realizar a análise pelo *Process Monitor*, a próxima ferramenta utilizada foi *IDA Pro*. Assim, ao abrir a ferramenta, escolher a opção *PE Executable* e assim abrir o arquivo que deseja analisar. Nessa etapa as *strings* foram analisadas. Ao identificá-las, foi visto que as mesmas estavam criptografadas. Muitos códigos maliciosos possuem funções para embaralhar esses textos e assim não serem detectados por programas como o *site Virus Total*. A imagem 69 mostra as *strings* do código.

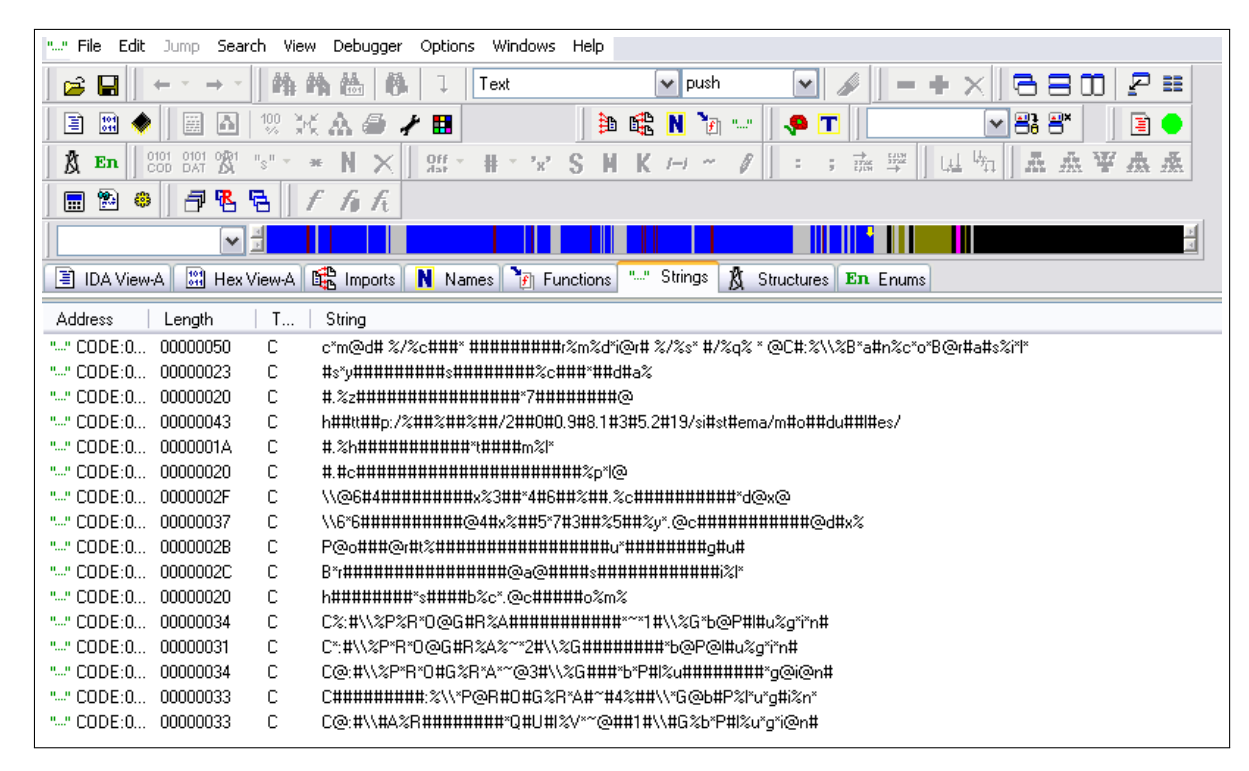


Figura 69 – Tela da IDA Pro mostrando as strings

Ao analisar strings criptografadas é importante verificar se há um padrão na criptografia do arquivo. Assim foi visto que muitos símbolos se repetiam. Portanto, as strings foram copiadas para o bloco de notas e foi feita a substituição de cada símbolo por nenhum outro. O primeiro símbolo substituído foi o cerquilha (#). A imagem 70 mostra o processo de substituição e a imagem 71 mostra depois do processo.

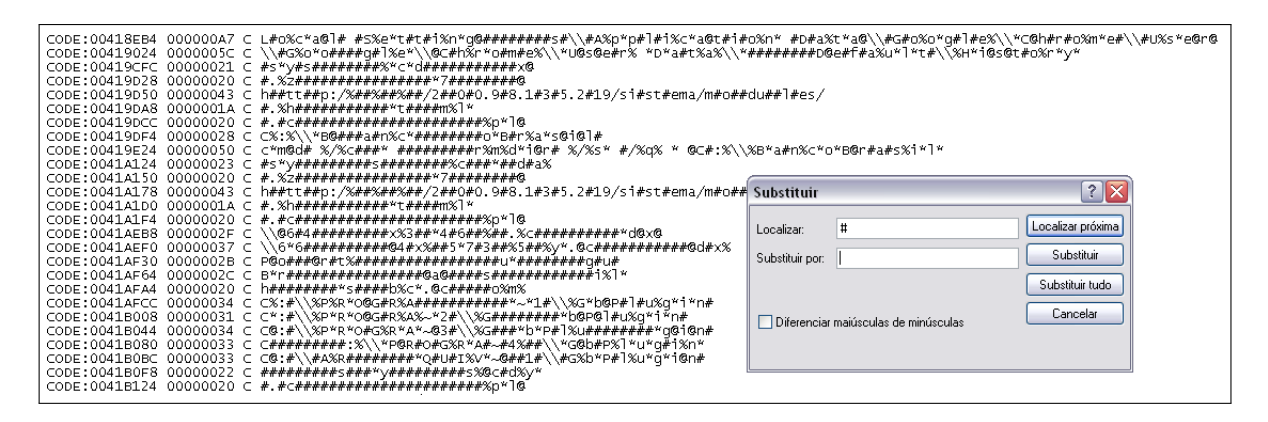


Figura 70 – Tela da do bloco de notas antes de realizar a substituição do símbolo cerquilha

Figura 71 – Tela do bloco de notas após substituição do símbolo cerquilha

É importante destacar que após substituir o símbolo, foi possível identificar a informação de acesso ao endereço IP visto anteriormente como mostra a imagem 71. Assim foi realizada a substituição de outros símbolos até que não houvesse nenhum. A imagem 72 mostra as informações identificadas.

Figura 72 – Tela do bloco de notas com *strings* identificadas

Próprio Autor

Portanto, esse código tem um comportamento parecido com o malware Botnet, uma vez que ele se espalha e tenta atingir o maior número de máquinas possíveis. O código também procura arquivos relacionados a bancos, além de acessar páginas dos mesmos. De acordo com Stallings e Brown (2015), um Botnet ou Bot é um programa que é ativado em uma máquina infectada para realizar ataques em outras máquinas.

6 Conclusão

Malware causa muitos problemas para os usuários computacionais, uma vez que prejudicam a máquina atingida e roubam informações dos usuários a fim de obter algum lucro financeiro. Com a pandemia do coronavírus, percebeu-se que os desenvolvedores deses códigos maliciosos aproveitam da desinformação da população para disseminar esses códigos.

Neste trabalho foram apresentadas as técnicas de análise estática e dinâmica para realizar o estudo e compreensão de arquivos maliciosos. Além da definição e explicação de cada *malware*, também foi realizada a classificação dos *malwares* assim como as ferramentas necessárias para as análises.

O uso de cada análise proporcionou identificar o comportamento dos *malwares*. Características como data de criação, blicotecas DLLs, o uso de empacotadores, entre outros foram identificados por meio da análise estática. Já processos e mudanças no registro foi feito através da análise dinâmica.

Cada código analisado teve seu nível de complexidade. Os dois primeiros códigos apresentaram comportamentos mais simples, apesar do arquivo 4.2 estar empacotado, as informações estavam compreensíveis. Já o arquivo 4.3 apresentou um nível maior de complexidade comparado aos outros. Foi necessário o uso de um debugger para a análise e suas strings estavam criptografadas. Os outros códigos analisados apresentaram um nível de complexidade menor em relação ao arquivo 4.3.

O estudo sobre códigos maliciosos possibilitou um maior conhecimento sobre o tema, e como cada *malware* se propaga para atingir computadores. Com as características de cada um apresentadas, também foi possível mostrar os recursos que os *malwares* utilizam para que não sejam descobertos.

A importância de entender e analisar as características de cada código permite que novas ferramentas sejam criadas, já que os desenvolvedores de *malwares* sempre estão aperfeiçoando seus códigos para que a detecção seja mais difícil. Assim, é muito importante que analistas de segurança sempre estejam se atualizando e desenvolvendo ferramentas para esse fim.

Neste trabalho foi adquirido o conhecimento sobre o tema, como a definição de *malware* e a classificação de cada um. Além da compreensão sobre o tema, foi necessário estudar os tipos de análises e entender como cada ferramenta funciona.

Como proposta de trabalhos futuros, pode-se estudar outros malwares que não foram apresentados neste trabalho, como o malware rootkit e o ransomware. Outra ideia é estudar outras técnicas de detecção de códigos maliciosos como a análise de memória, e implementar um modelo de detecção desses malwares com o auxílio da inteligência artificial.

Referências

- BARROS, D. A. D. d. M. Enriquecimento semântico de logs como auxílio no processo de gestão e tomada de decisões. Dissertação (Mestrado) Universidade Federal de Pernambuco, 2018.
- BRITTO, G. A.; FREITAS, M. B. Ciberataques em massa e os limites do poder punitivo na tipificação de crimes informáticos. *Revista de Direito Penal, Processo Penal e Constituição*, v. 3, n. 2, p. 1–16, 2017.
- KASPERSKY. Brasil é o 4º país mais atacado por malware financeiro em 2019. 2020. Disponível em: (https://www.kaspersky.com.br/blog/brasil-atacado-malware-financeiro-2019-pesquisa/14894/). Acesso em: 25 de Setembro de 2020 às 10:22.
- KASPERSKY. Brasileiros estão entre os mais atacados por golpes durante a pandemia. 2020. Disponível em: (https://www.kaspersky.com.br/blog/brasil-phishing-covid-golpe/15902/). Acesso em: 28 de Setembro de 2020.
- KASPERSKY. Centenas de domínios maliciosos usam o tema COVID-19. 2020. Disponível em: (https://www.kaspersky.com.br/blog/dominios-maliciosos-covid-pesquisa/14623/). Acesso em: 29 de Setembro de 2020.
- KASPERSKY. Diversidade de malware aumenta 14% em 2019. 2020. Disponível em: $\langle \text{https://www.kaspersky.com.br/blog/malware-aumenta-2019-pesquisa/13896/} \rangle$. Acesso em: 25 de Março de 2020.
- LEITE, L. P. Agrupamento de malware por comportamento de execução usando lógica fuzzy. 2016.
- MANGIALARDO, R. J.; DUARTE, J. C. Integrating static and dynamic malware analysis using machine learning. *IEEE Latin America Transactions*, IEEE, v. 13, n. 9, p. 3080–3087, 2015.
- MICROSOFT. *Process Explorer v16.32*. 2020. Disponível em: (https://docs.microsoft.com/pt-br/sysinternals/downloads/process-explorer).
- MICROSOFT. Process Monitor v3.60. 2020. Disponível em: $\langle https://docs.microsoft. com/pt-br/sysinternals/downloads/procmon \rangle$.
- PAULISTA, C. L.; MARCHI, A. C. de. Uma plataforma de modelagem colaborativa de ontologias para análise de programas maliciosos. 2017.
- PRADO, N.; PENTEADO, U.; GRÉGIO, A. Metodologia de detecção de malware por heurísticas comportamentais. Simpósio Brasileiro em Segurança da Informação e de Sistemas. ISSN, p. 2176–0063, 2016.
- PRAYUDI, Y.; RIADI, I.; YUSIRWAN, S. S. Implementation of malware analysis using static and dynamic analysis method. *International Journal of Computer Applications*, Foundation of Computer Science, v. 117, n. 6, p. 11–15, 2015.

Referências 74

RUSSINOVICH, M.; SOLOMON, D. A.; IONESCU, A. Windows Internals: Part 1. 6. ed. Washington: Microsoft Press, 2012.

SIHWAIL, R.; OMAR, K.; ARIFFIN, K. A. Z. A survey on malware analysis techniques: Static, dynamic, hybrid and memory analysis. *International Journal on Advanced Science, Engineering and Information Technology*, INSIGHT-Indonesian Society for Knowledge and Human Development, v. 8, n. 4-2, p. 1662–1671, 2018.

STALLINGS, W.; BROWN, L. Computer Security: Principles and Pratice. 3. ed. New Jersey: Pearson Education, 2015.